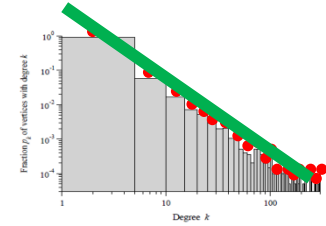


Retomando....

$$\log p_k = -\gamma \log k + c$$



Habiamos visto...

De acuerdo a la distribución de grado las redes pueden clasificarse en

Redes acotadas exponencialmente:

- distribución decae para altos valores de k exponencialmente o más rapido
- Ausencia de grandes fluctuaciones en el grado [$\langle k^2 \rangle < \langle k \rangle$]

Redes de cola pesada:

- redes cuya distribución decae como ley de potencia para altos valores de k
- Pueden presentarse grandes fluctuaciones en el grado [$\langle k^2 \rangle \gg \langle k \rangle$]
- Típicamente presentan outliers (hubs)

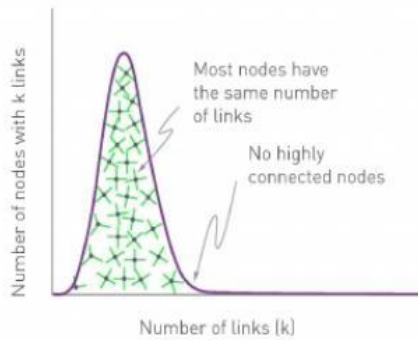
$$k_{max} = k_{min} N^{\frac{1}{\gamma-1}}$$

	$\langle k \rangle$	$\langle k^2 \rangle$
$2 < \gamma \leq 3$	finito	infinito
$\gamma > 3$	finito	finito

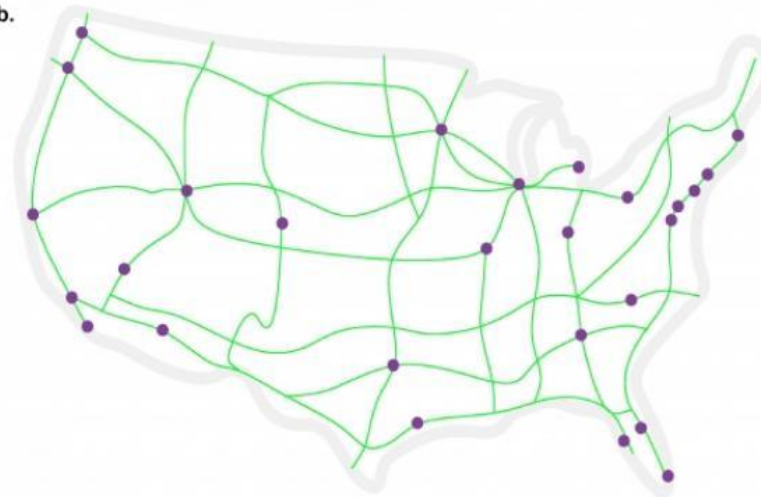
Cual es el efecto de tener **hubs** en una red?

Efecto de hubs sobre distancias

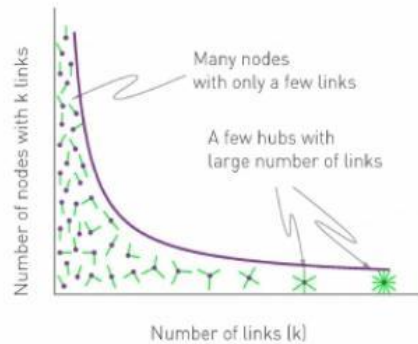
a. POISSON



b.



c. POWER LAW



d.

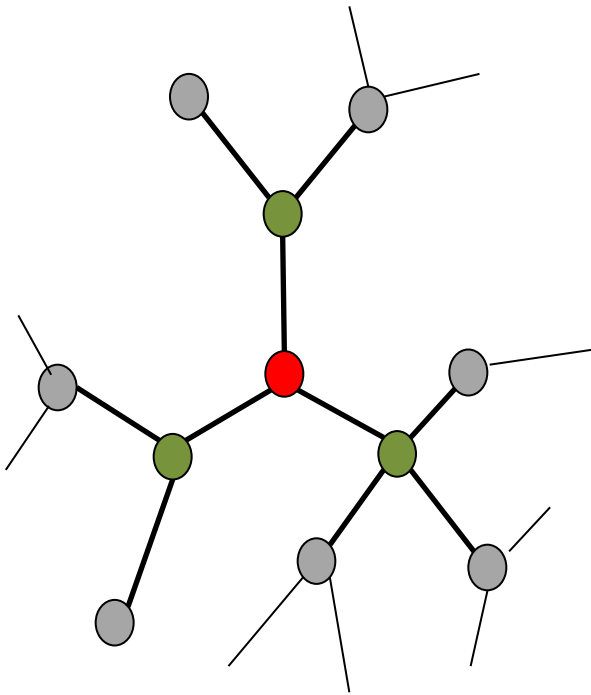


La presencia de hubs crea **atajos**

Distancias y mundo-pequeño en redes aleatorias (idea)

En redes aleatorias (distribución Poisson) los nodos tienden a tener $k \sim \langle k \rangle$.

- Nro primeros vecinos $\sim \langle k \rangle$
- Nro segundos vecinos $\sim \langle k \rangle^2$
- Nro de vecinos a distancia $s \sim \langle k \rangle^s$



El nro de nodos hasta una distancia s resulta

$$N(l) = 1 + \langle k \rangle + \langle k \rangle^2 + \dots + \langle k \rangle^l = \frac{\langle k \rangle^{l+1} - 1}{\langle k \rangle - 1}$$

Como máximo $N(l_{\max}) = N$

$$N \sim \langle k \rangle^{l_{\max}}$$

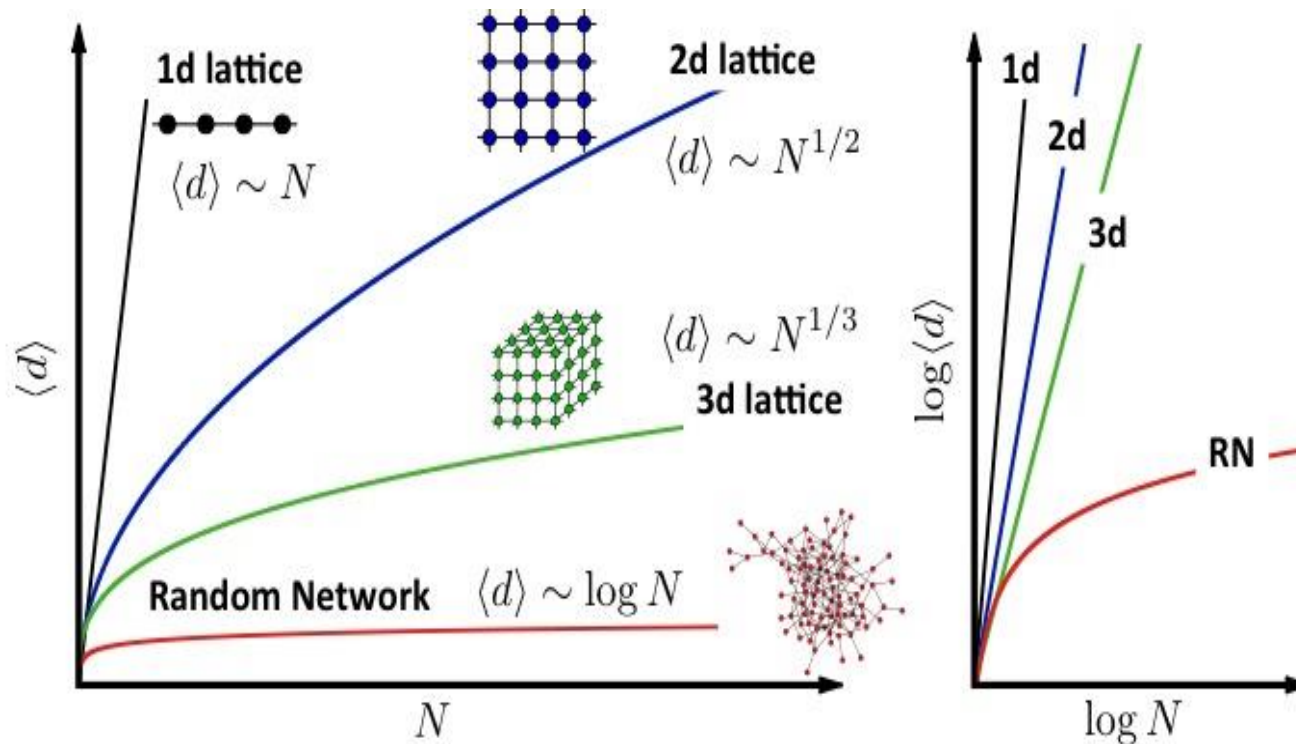
$$l_{\max} \sim \frac{\log N}{\log \langle k \rangle} \quad \leftarrow \text{Efecto mundo pequeño}$$

Vivir en mundos-pequeños

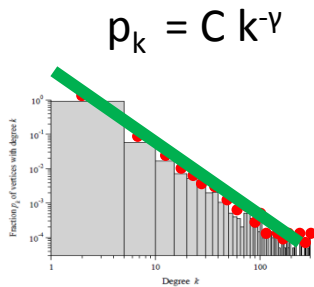
Distancias 'mundos-pequeños' \leftrightarrow Distancias 'mundo físico'

$$l_{max} \sim \log N$$

$$l \sim N^{1/d}$$



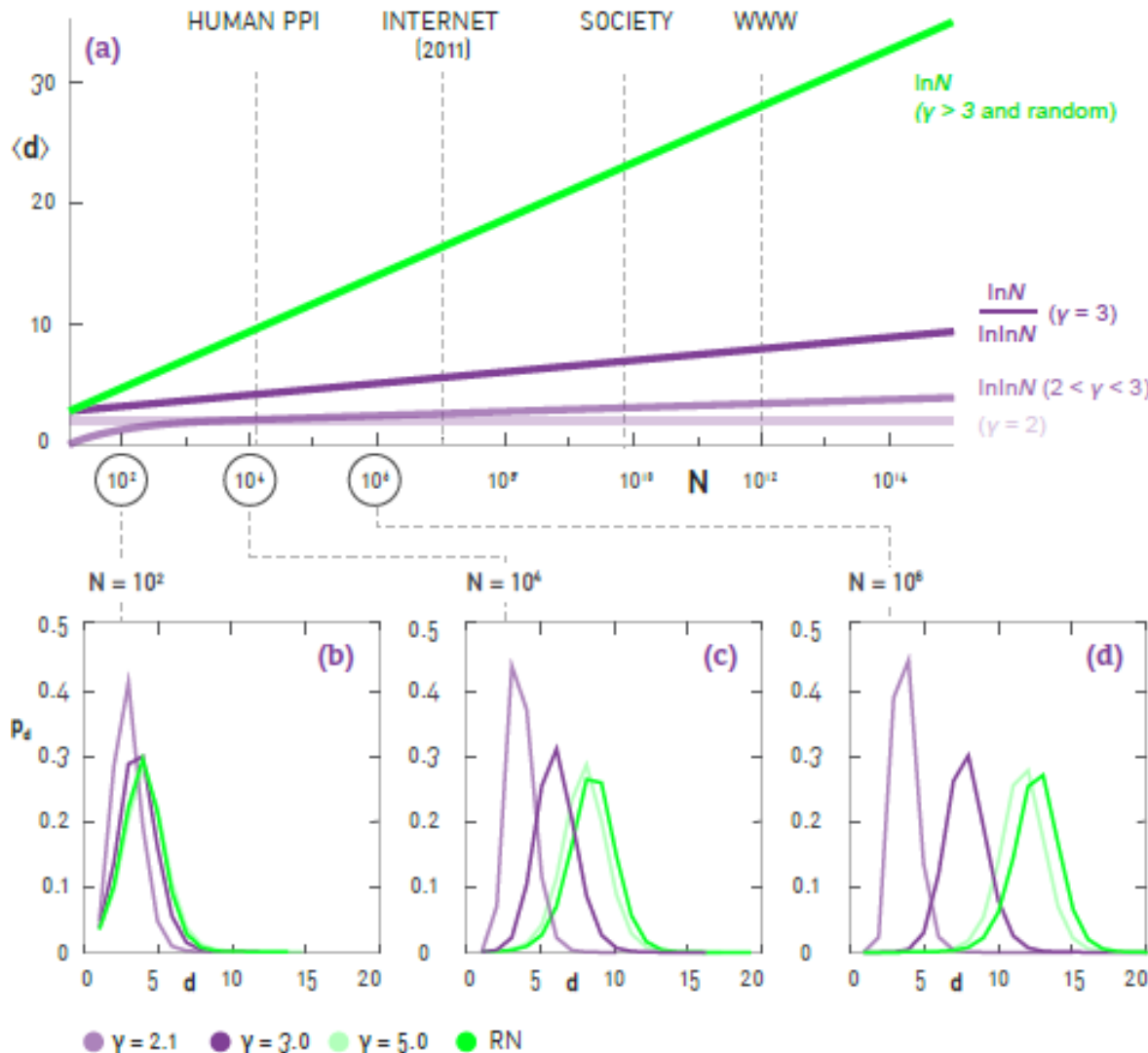
Distancias en redes libres de escala



$$k_{max} = k_{min} N^{\frac{1}{\gamma-1}}$$

{	$\langle d \rangle \sim$	const.	$\gamma = 2$	Tamaño hub $o(N)$. Estructura tipo <i>spoke</i> . Camino medio independiente del tamaño del sistema
		$\ln \ln N$	$2 < \gamma < 3$	Longitud media aumenta mas lento que log (!) Ultra-small-world debido a hubs.
		$\frac{\ln N}{\ln \ln N}$	$\gamma = 3$	Valor crítico de γ para el cual $\langle k^2 \rangle$ deja de diverger.
		$\ln N$	$\gamma > 3$	$\langle k^2 \rangle$ es finito. No hay suficientes hubs, ni son tan gdes. Se comporta como small-world random network.

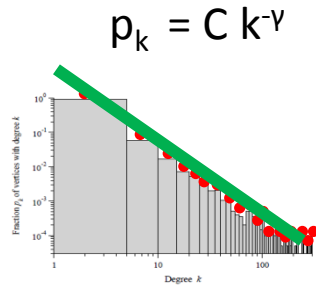
Distancias en redes libres de escala



$$\langle d \rangle \sim \begin{cases} \text{const.} & \gamma = 2, \\ \frac{\ln \ln N}{\ln(\gamma - 1)} & 2 < \gamma < 3, \\ \frac{\ln N}{\ln \ln N} & \gamma = 3, \\ \ln N & \gamma > 3. \end{cases}$$

Las diferencias entre diferentes tipos de *escaleo* para las distancias se ponen de manifiesto en redes grandes.

Leyes de potencia en régimen logN



Es difícil encontrar redes reales con distribución de grado ley de potencia con $\gamma > 3$

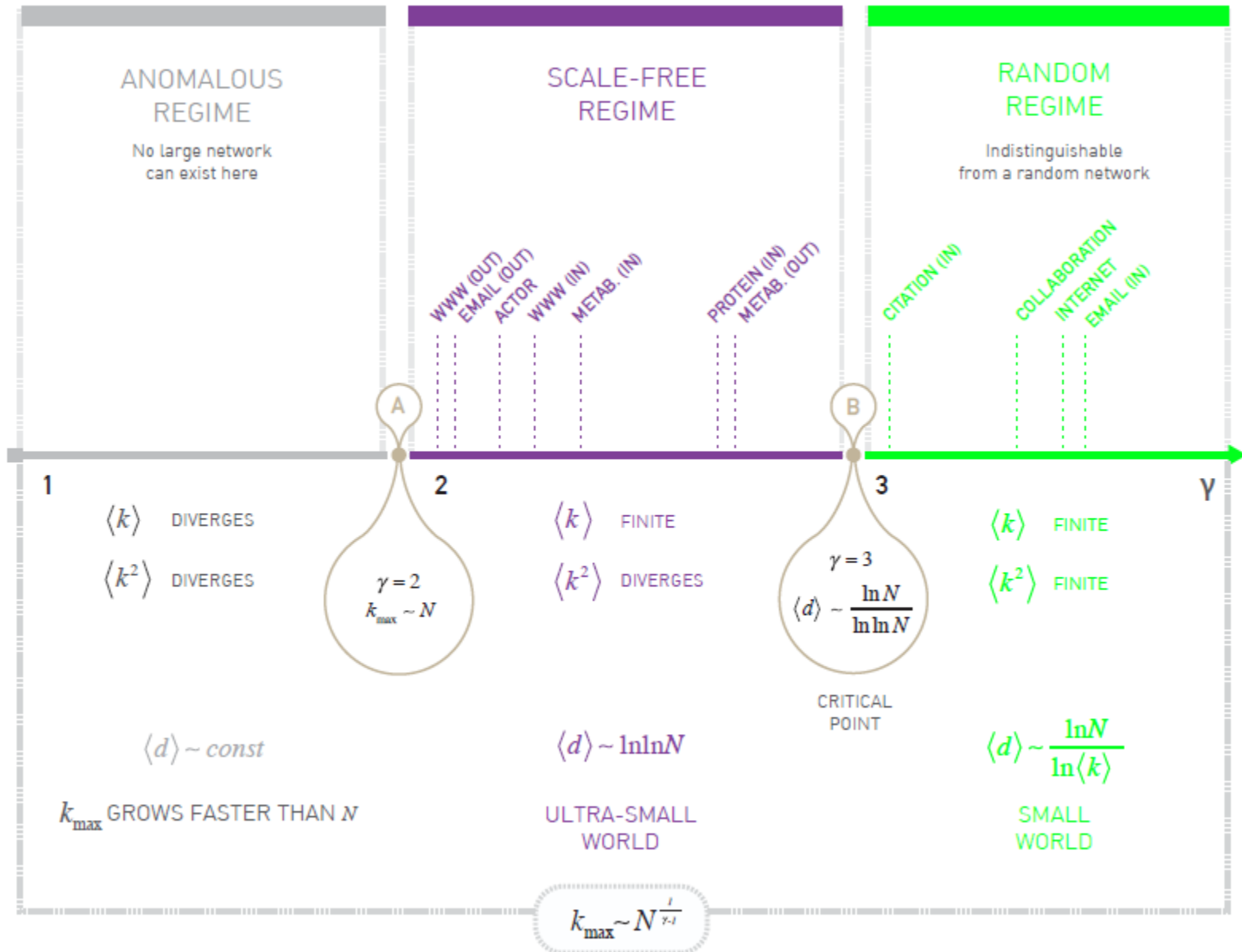
- Se necesita observar nodos con grados que varíen en al menos 2 (o mejor 3) ordenes de magnitud: $k_{min} \sim 1$, $k_{max} \sim 10^2$
- Pero entonces

$$k_{max} = k_{min} N^{\frac{1}{\gamma-1}}$$

$$N = \left(\frac{k_{max}}{k_{min}} \right)^{\gamma-1} = 10^{2(\gamma-1)}$$

Para reconocer una red con distrib. de grado de exponente $\gamma=5$ necesitaría que la misma tuviera al menos $N \sim 10^8$ nodos (!)

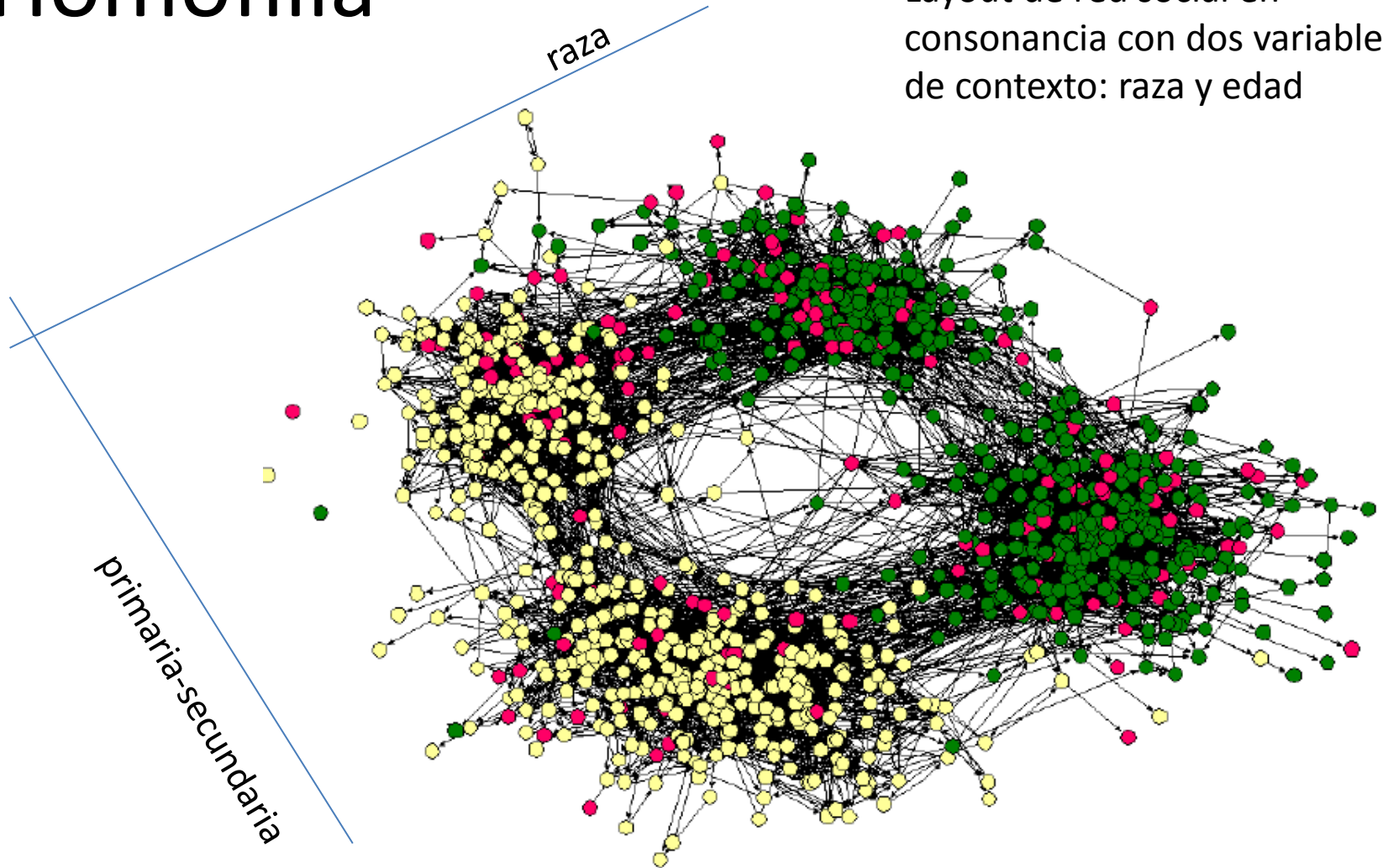
Exponente crítico



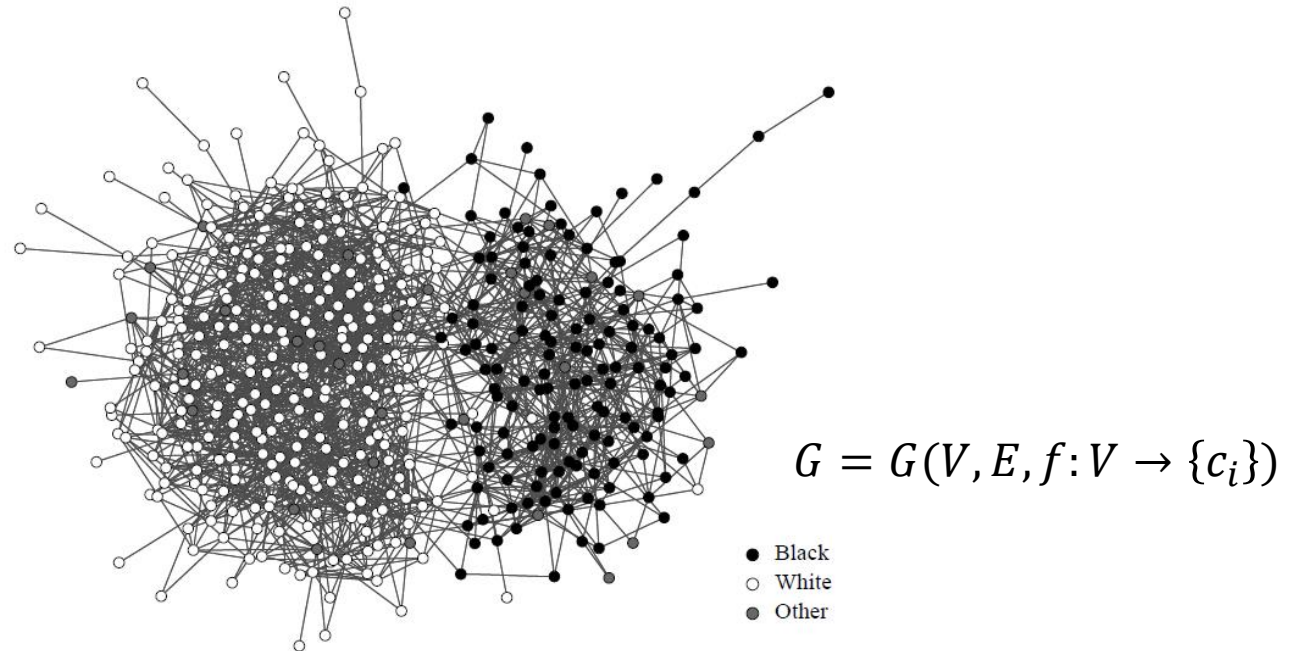
Estructura y correlaciones en la red

Homofilia

Layout de red social en consonancia con dos variables de contexto: raza y edad



Assortative mixing para variables categóricas

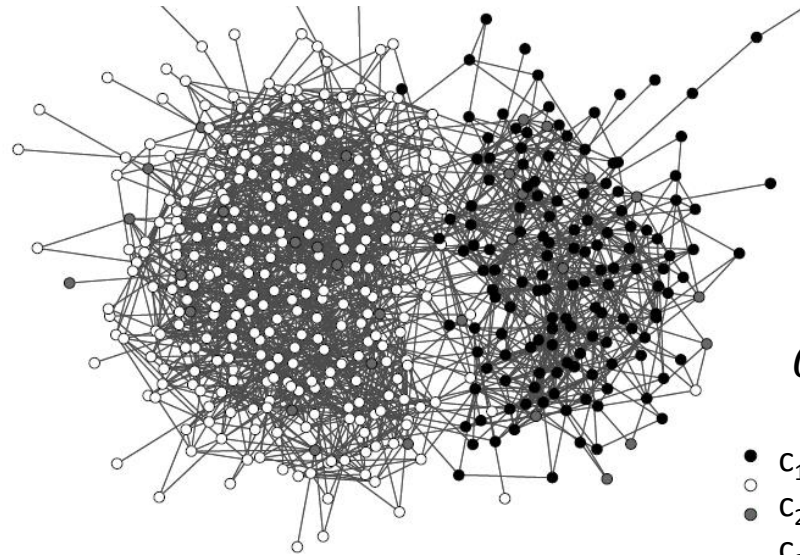


Supongamos que nodos de una red puedan clasificarse de acuerdo a cierta característica en un conjunto discreto y finito de valores (e.g. género, raza, etc)

La red es **asortativa (disortativa)** si una fracción significativa de enlaces se establece entre nodos del **mismo (diferente)** tipo.

Assortative mixing: características categóricas v.1

Supongamos que existen n_c clases diferentes para los n nodos de una red de m enlaces.
Sea c_i la clase del nodo- i . El número de enlaces entre mismo tipo de nodos resulta:



$$G = G(V, E, f: V \rightarrow \{c_i\})$$

- c_1 : blanco
- c_2 : negro
- c_3 : otro

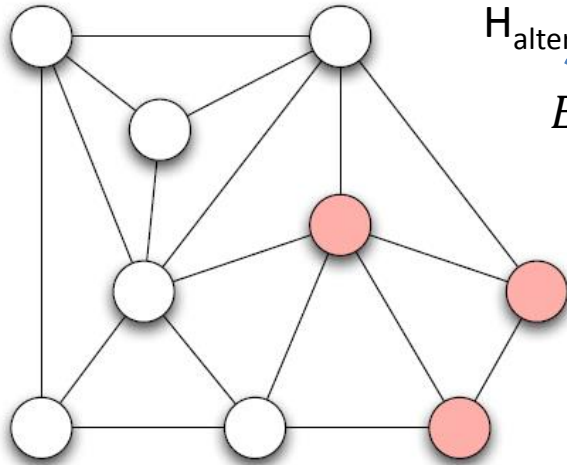
Red real

$$\sum_{\text{edges } (i,j)} \delta(c_i, c_j) = \frac{1}{2} \sum_{ij} A_{ij} \delta(c_i, c_j) \quad \delta(c_i, c_j) = 1 \text{ si } c_i = c_j$$

Contra que lo comparo??

Recordemos...

Cuantificando homofilia



$H_{\text{alternativa-}}$

$$G = G(V, E, f_v: V \rightarrow \{color1, \dots, colorN\})$$

$E \leftrightarrow f_v$

■ Existe una tendencia a establecer enlaces entre nodos de igual color?

- hay *muchos* enlaces entre nodos de igual color?
- hay *pocos* enlaces entre nodos de color diferente?

Contra qué cosa comparo para saber si hay **pocos** enlaces entre nodos de diferente color?

$H_{\text{null-1}}$: modelo de *la bolsa* tengo 6 bolas blancas y 3 salmon en una bolsa. Saco 18 pares **al azar**

$H_{\text{null-2}}$: modelo de *recolorado* Sobre la red original, coloreo **al azar** 6 blancas y 3 salmon (f_v)

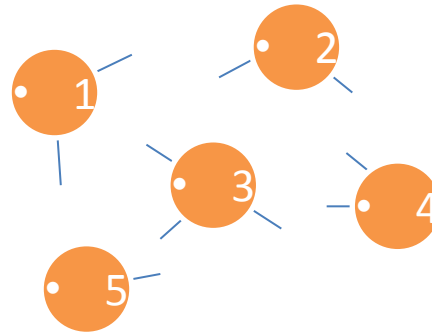
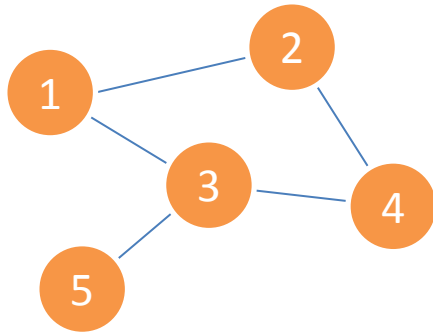
$H_{\text{null-3}}$: modelo de *recableado* Recableo la red cambiando **al azar** la estructura del grafo (E)

$H_{\text{null-4}}$: modelo de *recableado configuracional* Recableo la red cambiando **al azar** la estructura del grafo **respetando el grado** de cada nodo (E)

Modelo configuracional

Recableado de la red, **preservando la distribución de grado** original

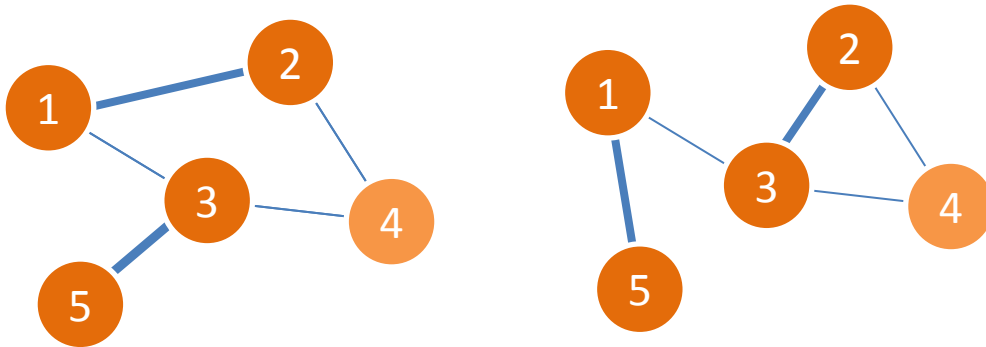
Para cada rayito elijo otro al azar



ojo: Implementado *naivamente* se pueden generar loops o multienlaces

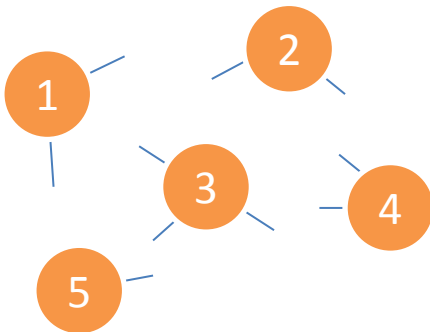
Modelo configuracional

Recableado de la red, **preservando la distribución de grado original**



- a. elijo 2 pares de nodos enlazados
 - b. intercambio parejas
- Repito a y b muchísimas veces

Este recableado preserva el grado de cada nodo



En la red recableada, la probabilidad de que exista un enlace entre el nodo i y el j

$$p_{ij} = k_i \frac{k_j}{2m}$$

nro total de rayos

fracción de enlaces que conducen a j

Assortative mixing: características categóricas

Supongamos que existen n_c clases diferentes para los n nodos de una red de m enlaces. Sea c_i la clase del nodo- i . El número de enlaces entre mismo tipo de nodos resulta:

Red real

$$\sum_{\text{edges } (i,j)} \delta(c_i, c_j) = \frac{1}{2} \sum_{ij} A_{ij} \delta(c_i, c_j)$$

$$\delta(c_i, c_j) = 1 \text{ si } c_i = c_j$$

Red aleatoria (recableado)

$$\frac{1}{2} \sum_{ij} \frac{k_i k_j}{2m} \delta(c_i, c_j).$$

Consideramos la diferencia: $\frac{1}{2} \sum_{ij} A_{ij} \delta(c_i, c_j) - \frac{1}{2} \sum_{ij} \frac{k_i k_j}{2m} \delta(c_i, c_j)$

modularidad

$$Q = \frac{1}{2m} \sum_{ij} \left(A_{ij} - \frac{k_i k_j}{2m} \right) \delta(c_i, c_j)$$

- $Q > 0$ si hay más enlaces entre vertices del mismo tipo que los esperados por azar
- $Q < 0$ si hay menos enlaces entre vertices del mismo tipo que los esperados por azar

Assortative mixing: características categóricas

$$Q = \frac{1}{2m} \sum_{ij} \left(A_{ij} - \frac{k_i k_j}{2m} \right) \delta(c_i, c_j)$$

En general $Q < 1$ aun para casos perfectamente asortativos: $A_{ij} = \delta(c_i, c_j)$

Para este caso resulta $\sum_{ij} A_{ij} \delta(c_i, c_j) = \sum_{ij} A_{ij} = 2m$

$$Q_{\max} = \frac{1}{2m} \left(2m - \sum_{ij} \frac{k_i k_j}{2m} \delta(c_i, c_j) \right)$$

Y podemos definir una modularidad normalizada

$$\frac{Q}{Q_{\max}} = \frac{\sum_{ij} (A_{ij} - k_i k_j / 2m) \delta(c_i, c_j)}{2m - \sum_{ij} (k_i k_j / 2m) \delta(c_i, c_j)}$$

Assortative mixing: características categóricas

Otra manera de computar asortatividad/modularidad:

$$Q = \frac{1}{2m} \sum_{ij} \left(A_{ij} - \frac{k_i k_j}{2m} \right) \overbrace{\sum_r \delta(c_i, r) \delta(c_j, r)}^{\delta(c_i, c_j)}$$

$$= \sum_r \left[\frac{1}{2m} \sum_{ij} A_{ij} \delta(c_i, r) \delta(c_j, r) - \frac{1}{2m} \sum_i k_i \delta(c_i, r) \right] \frac{1}{2m} \sum_j k_j \delta(c_j, r)$$

$$e_{rs} = \frac{1}{2m} \sum_{ij} A_{ij} \delta(c_i, r) \delta(c_j, s)$$

fracción de enlaces entre nodos de la clases r y s (o sea, probabilidad de encontrar un nodo de clase r y otro de clase s en los extremos de un enlace).

$$a_r = \frac{1}{2m} \sum_{ij} A_{ij} \delta(c_i, r)$$

fracción de enlaces adyacente a nodos del tipo r (o sea, probabilidad de encontrar un nodo de tipo r en un extremo de un enlace)

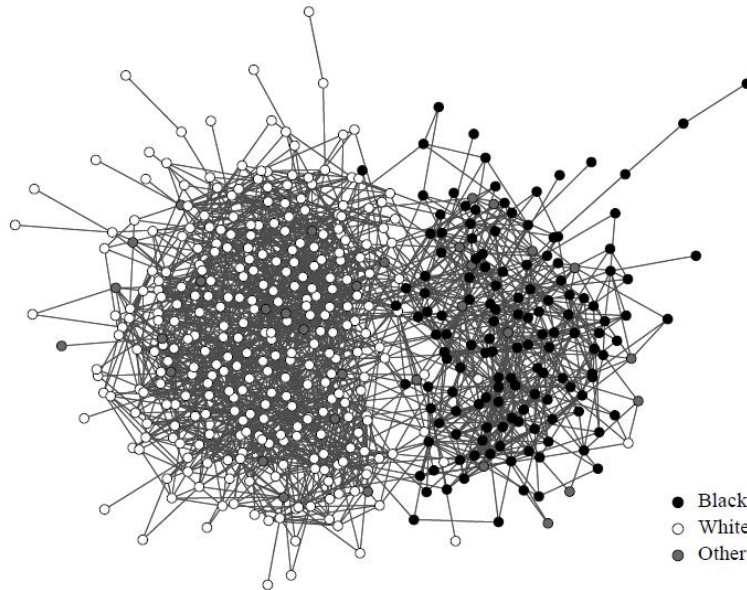
Entonces...

$$Q = \sum_r (e_{rr} - a_r^2)$$

Notar que en una red sin correlaciones

$$e_{rs} = a_r a_s \rightarrow Q = 0$$

Assortative mixing: características categóricas



Recordar:

$$G = G(V, E, f: V \rightarrow \{c_i\})$$

En cualquiera de los dos casos estoy computando si veo mas enlaces entre mismo tipo de nodos que en el modelo configuracional.

$$Q = \frac{1}{2m} \sum_{ij} \left(A_{ij} - \frac{k_i k_j}{2m} \right) \delta(c_i, c_j).$$

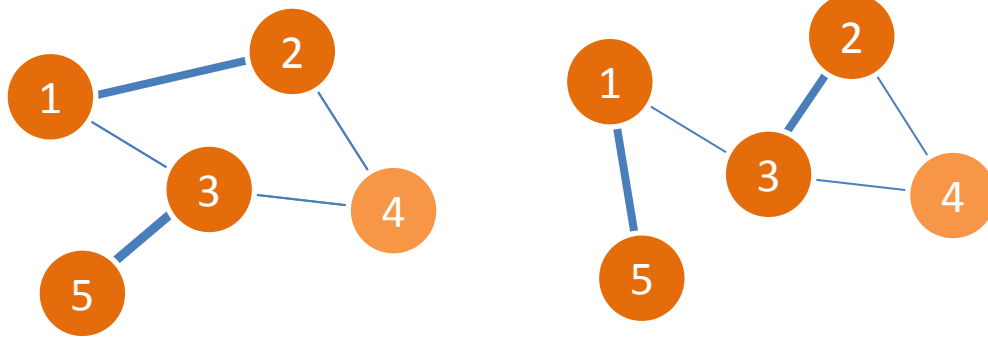
fracción enlaces adyacentes a nodos de categoría r

$$Q = \sum_r (e_{rr} - a_r^2)$$

fracción enlaces entre nodos de categoría r

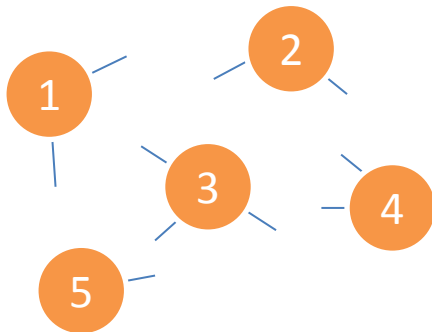
Modelo configuracional

Recableado de la red, **preservando la distribución de grado** original



- a. elijo 2 pares de nodos enlazados
 - b. intercambio parejas
- Repito a y b muchisimas veces

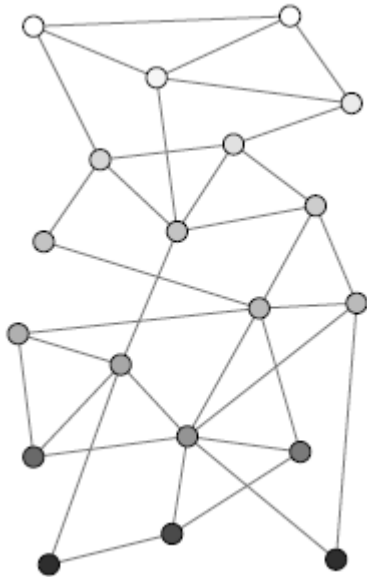
Este recableado preserva el grado de cada nodo



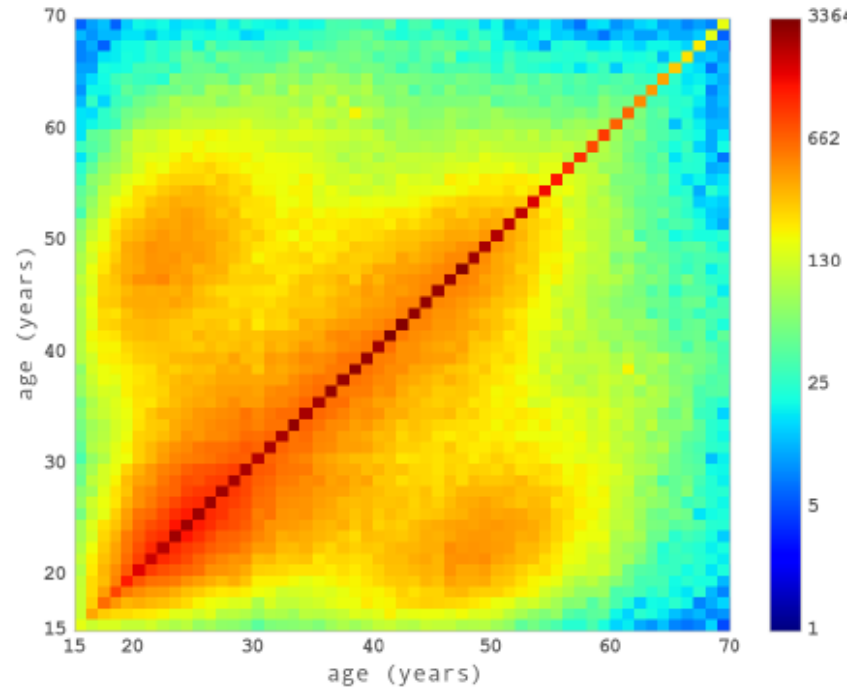
En la red recableada, la probabilidad de que exista un enlace entre el nodo i y el j

$$A_{ij} = k_i \frac{k_j}{2m}$$

Assortative mixing: características escalares



$$x(v): V \rightarrow \mathbb{R}$$

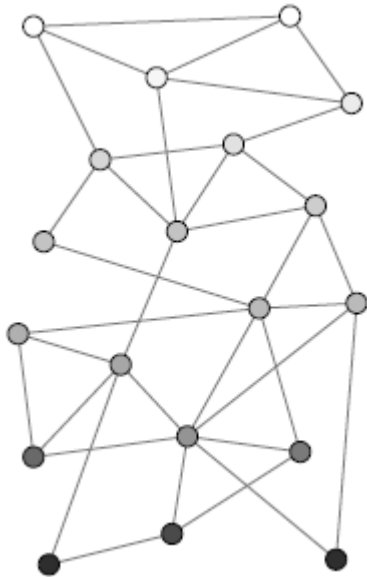


- Red de comunicaciones (llamadas tecnología móvil y SMS)
- Información geo-temporal de llamadas (3 meses, 70e6 usuarios – México)
- Información de la edad de 500000 usuarios
- Interés: Usando la **red y la información parcial** de la edad de algunos vértices, **inferir** la edad de usuarios de la red.
- Hipótesis de trabajo: principio de **homofilia** en la variable **edad**

Assortative mixing: características escalares

Definimos la media de X en el extremo de un enlace.

Recorro enlaces (ambos sentidos) asignando a c/u el valor de sus vertices :



$$\mu = \frac{\sum_{ij} A_{ij} x_i}{\sum_{ij} A_{ij}} = \frac{\sum_i k_i x_i}{\sum_i k_i} = \frac{1}{2m} \sum_i k_i x_i.$$

un vértice de valor x_i
aparece en k_i enlaces

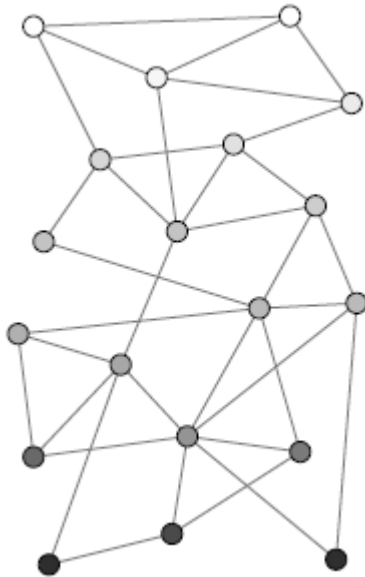
$$\text{cov}(x_{end_1}, x_{end_2}) = \frac{\sum_{ij} A_{ij} (x_i - \mu)(x_j - \mu)}{\sum_{ij} A_{ij}}$$

$$x(v): V \rightarrow \mathbb{R}$$

Assortative mixing: características escalares

Definimos la media de X en el extremo de un enlace.

Recorro enlaces (ambos sentidos) asignando a c/u el valor de sus vertices :



un vértice de valor x_i
aparece en k_i enlaces

$$\mu = \frac{\sum_{ij} A_{ij} x_i}{\sum_{ij} A_{ij}} = \frac{\sum_i k_i x_i}{\sum_i k_i} = \frac{1}{2m} \sum_i k_i x_i.$$

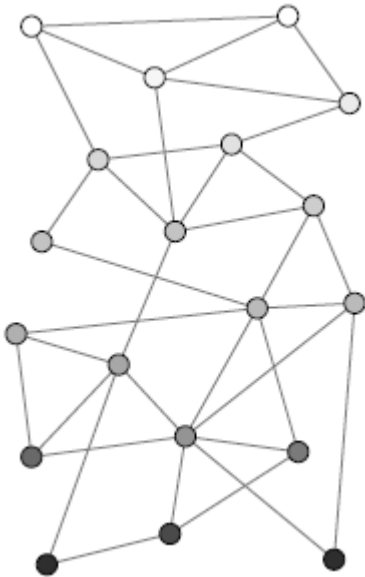
$$\begin{aligned} \text{cov}(x_{end_1}, x_{end_2}) &= \frac{\sum_{ij} A_{ij} (x_i - \mu)(x_j - \mu)}{\sum_{ij} A_{ij}} \\ &= \frac{1}{2m} \sum_{ij} A_{ij} (x_i x_j - \mu x_i - \mu x_j + \mu^2) \\ &= \frac{1}{2m} \sum_{ij} A_{ij} x_i x_j - \mu^2 \\ &= \frac{1}{2m} \sum_{ij} A_{ij} x_i x_j - \frac{1}{(2m)^2} \sum_{ij} k_i k_j x_i x_j \\ &= \frac{1}{2m} \sum_{ij} \left(A_{ij} - \frac{k_i k_j}{2m} \right) x_i x_j, \end{aligned}$$

$$x(v): V \rightarrow \mathbb{R}$$

Notar que:

$$Q = \frac{1}{2m} \sum_{ij} \left(A_{ij} - \frac{k_i k_j}{2m} \right) \delta(c_i, c_j).$$

Assortative mixing: características escalares



$$\text{cov}(x_{end_1}, x_{end_2}) = \frac{1}{2m} \sum_{ij} \left(A_{ij} - \frac{k_i k_j}{2m} \right) x_i x_j,$$

El valor máximo de $\text{cov}(x_i, x_j)$ es cuando todo enlace conecta nodos de igual valor

$$\sum_{ij} A_{ij} x_i x_j = \sum_{ij} A_{ij} x_i^2 = \sum_i k_i x_i^2 = \sum_i k_i x_i x_j \delta_{ij}$$

Y finalmente, la versión normalizada resulta

$$r = \frac{\sum_{ij} (A_{ij} - k_i k_j / 2m) x_i x_j}{\sum_{ij} (k_i \delta_{ij} - k_i k_j / 2m) x_i x_j}$$

$$x(v): V \rightarrow \mathbb{R}$$

Es posible extender este razonamiento a campos **vectoriales** definidos sobre la red:

$$\mathbf{x}(v): V \rightarrow \mathbb{R}^n$$

Assortative mixing por grado

Correlación de grados

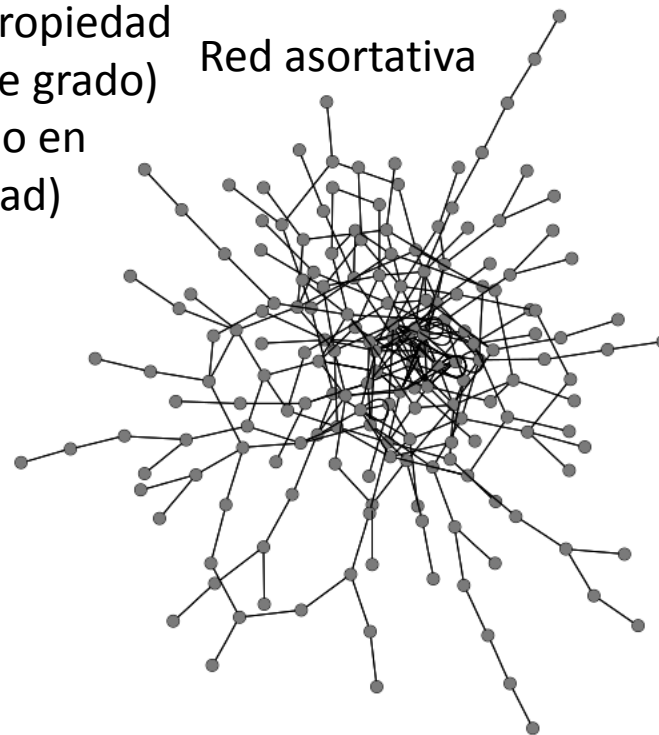
$$r = \frac{\sum_{ij} (A_{ij} - k_i k_j / 2m) x_i x_j}{\sum_{ij} (k_i \delta_{ij} - k_i k_j / 2m) x_i x_j}$$

Caso especial:

Asortatividad de una cantidad escalar: $x(v) = k(v)$
 el **campo de conectividad** sobre la red $x(v): V \rightarrow \mathbb{N}$

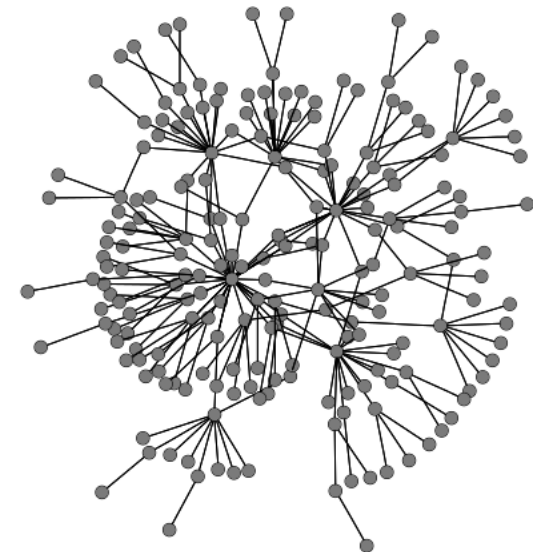
$$r = \frac{\sum_{ij} (A_{ij} - k_i k_j / 2m) k_i k_j}{\sum_{ij} (k_i \delta_{ij} - k_i k_j / 2m) k_i k_j}$$

Estamos analizando una propiedad estructural (distribución de grado) que es función de 1-cuerpo en relación a otra (conectividad) función de 2-cuerpos



Estructura núcleo-periferia

Red asortativa



Estructura tipo estrella

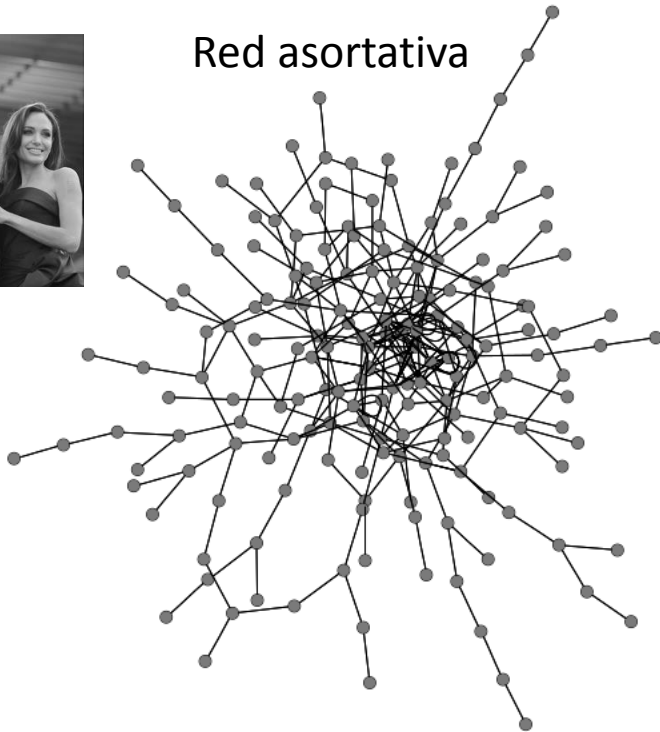
Red disortativa

Assortative mixing por grado

$$r = \frac{\sum_{ij}(A_{ij} - k_i k_j / 2m) k_i k_j}{\sum_{ij}(k_i \delta_{ij} - k_i k_j / 2m) k_i k_j}$$

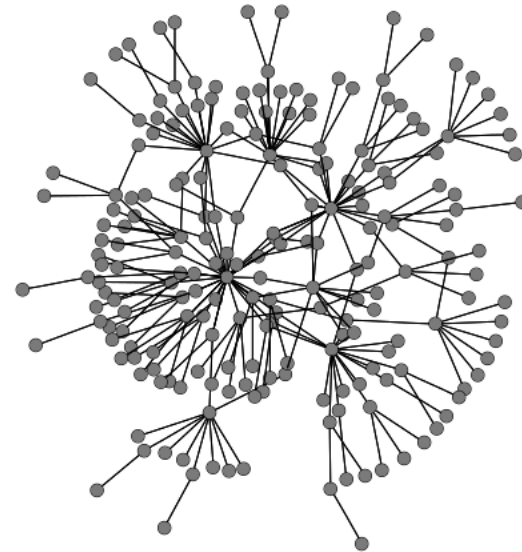


Red asortativa

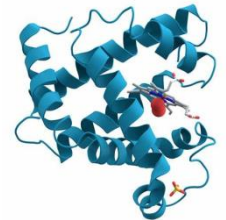


Estructura núcleo-periferia

Red disortativa



Estructura tipo estrella



Topología de la red de proteínas

1458 proteínas
1746 interacciones

Hubs tienden a conectarse con nodos de bajo grado...es *esperable* esto?

En una **red aleatoria** la probabilidad de que nodos i, j interactuen resulta

$$p_{k_i k_j} = \frac{k_i k_j}{2m}$$

$$p_{2,1} = 0.0006$$

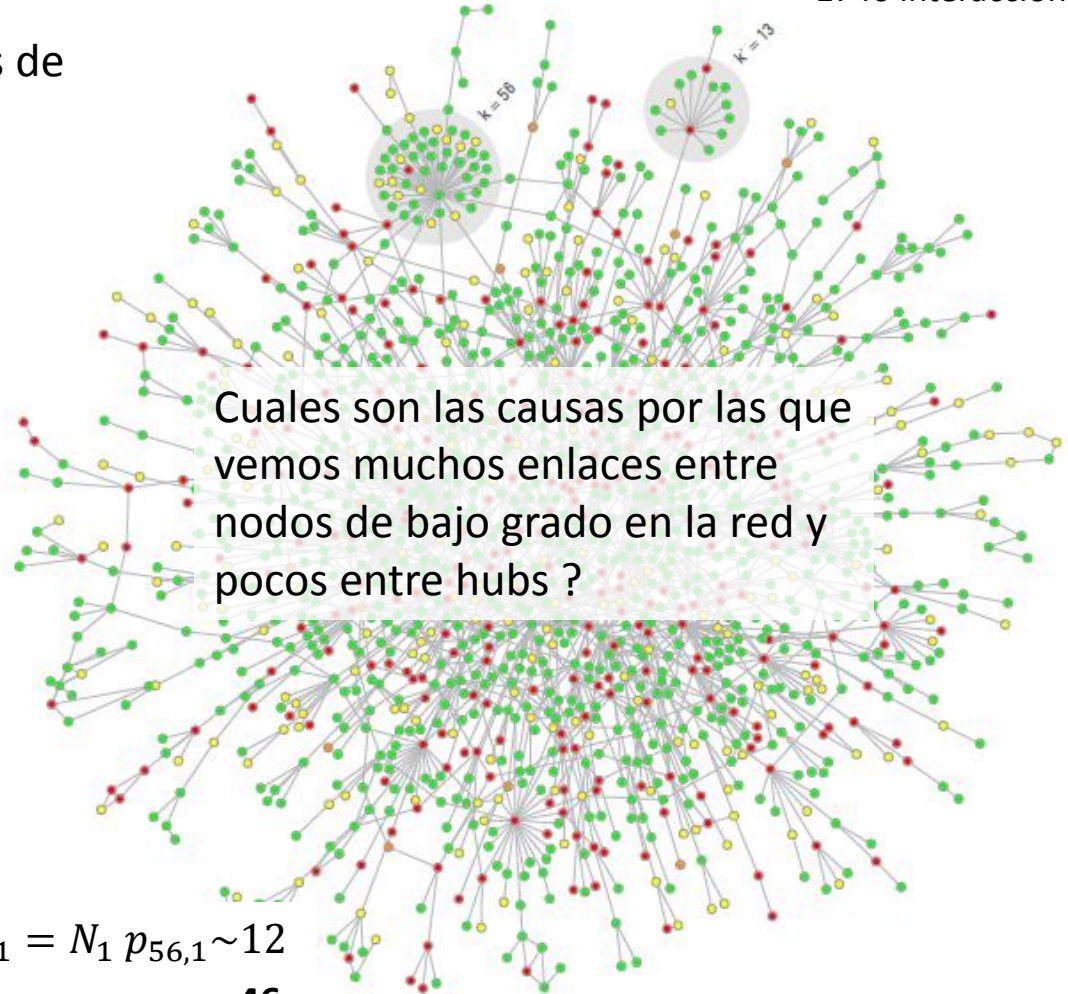
$$p_{56,13} = 0.2$$

...sin embargo no vemos un link entre k_{56} y k_{13} en la red real

$$p_{56,1} = 0.016$$

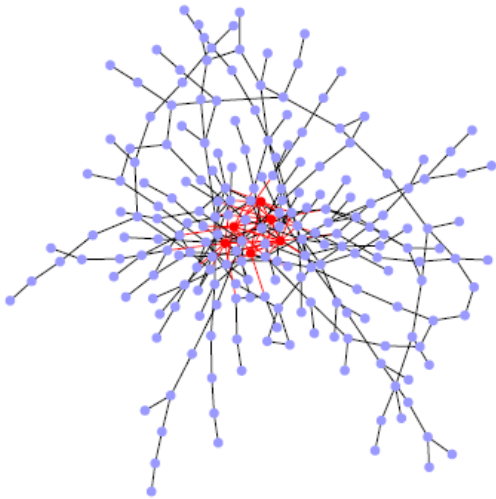
#enlaces **esperados** del hub a nodos $k_1 = N_1 p_{56,1} \sim 12$

#enlaces **observados** $_{56,1} = 46$

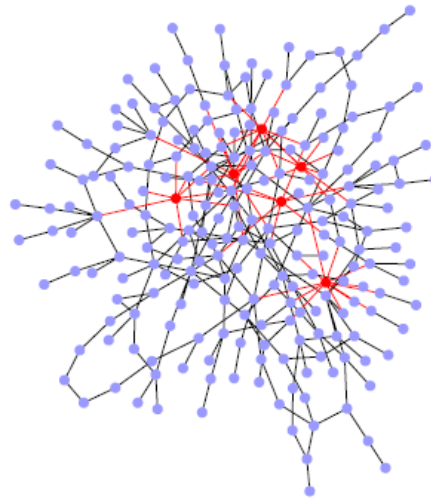


Correlación de grado

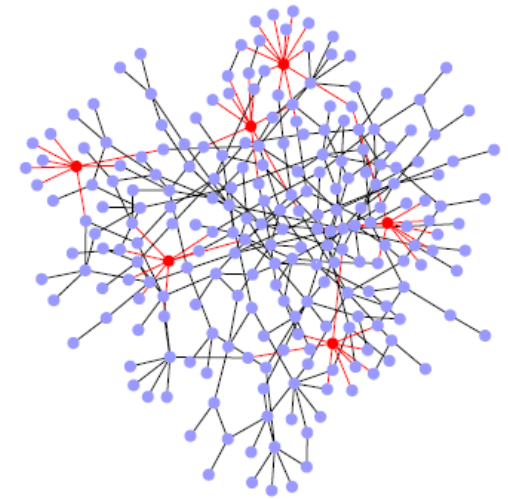
El caracter de asortatividad de grado repercute en la estructura de la red:



Asortativa
Hubs conectados con hubs



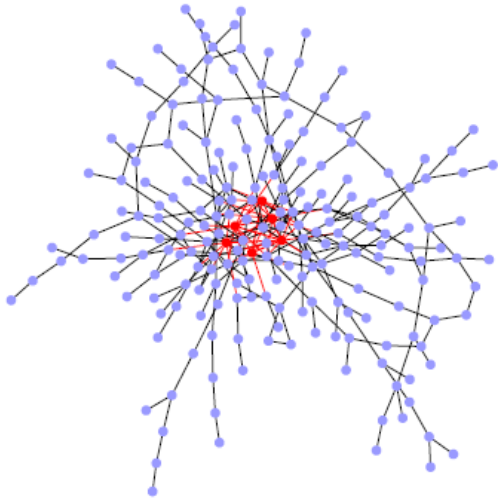
Neutra
Nodos conectados como se
espera del caso aleatorio



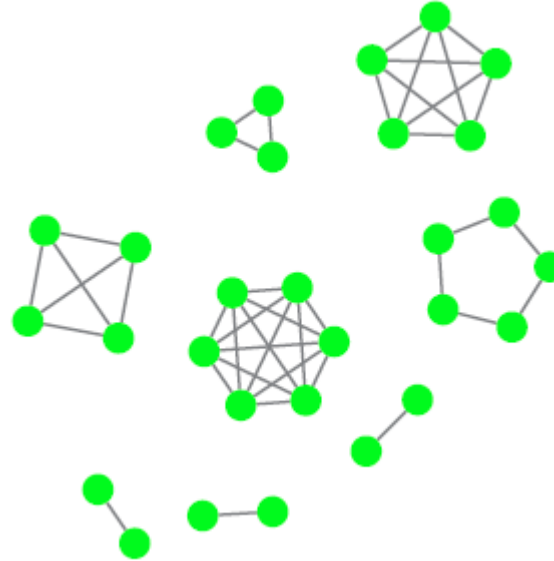
Disortativa
Hubs evitan hubs

Maslov and Sneppen, Science 2001
Pastor Satorras and Vespignani, PRL 2001
Newman, PRL 2002

Correlación de grado



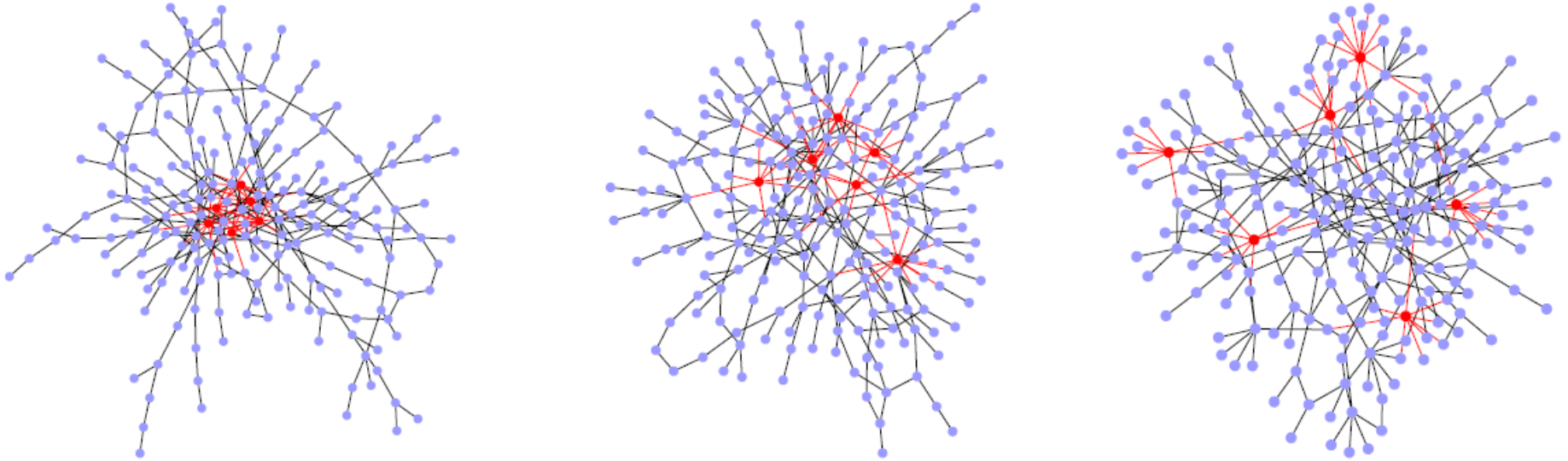
Asortativa
Hubs conectados con hubs



Red perfectamente asortativa

Maslov and Sneppen, Science 2001
Pastor Satorras and Vespignani, PRL 2001
Newman, PRL 2002

Correlación de grado



Dos maneras de cuantificar

$\text{cor}(k_i, k_j)$

$$r = \frac{\sum_{ij} (A_{ij} - k_i k_j / 2m) k_i k_j}{\sum_{ij} (k_i \delta_{ij} - k_i k_j / 2m) k_i k_j}$$

grado medio de vecinos →

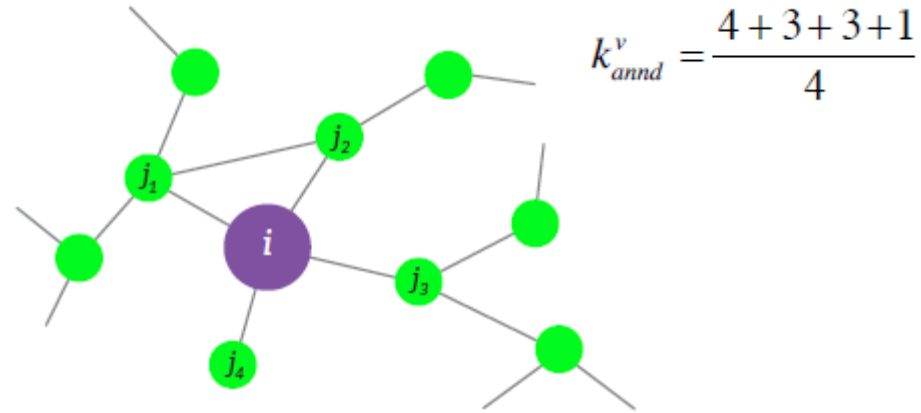
Pastor Satorras and Vespignani, PRL 2001

Grado medio de vecinos (Average Nearest Neighbor Degree)

$k_{\text{annd}}(\mathbf{k})$: grado medio de primeros vecinos de nodos con grado k

Para el nodo- i :

$$k_{nn,i} = \frac{1}{k_i} \sum_{j=1}^N A_{ij} k_j$$



En general, para nodos de grado k :

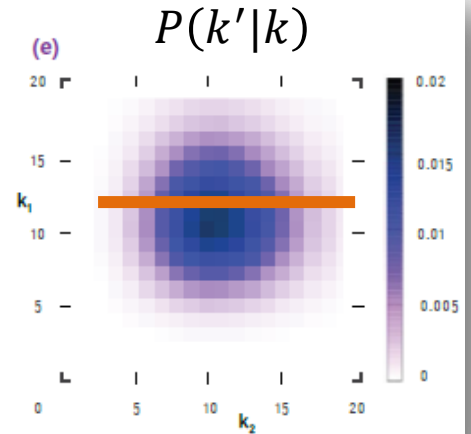
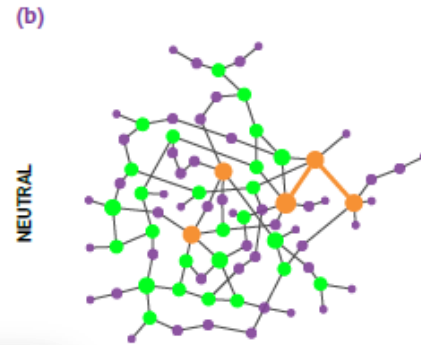
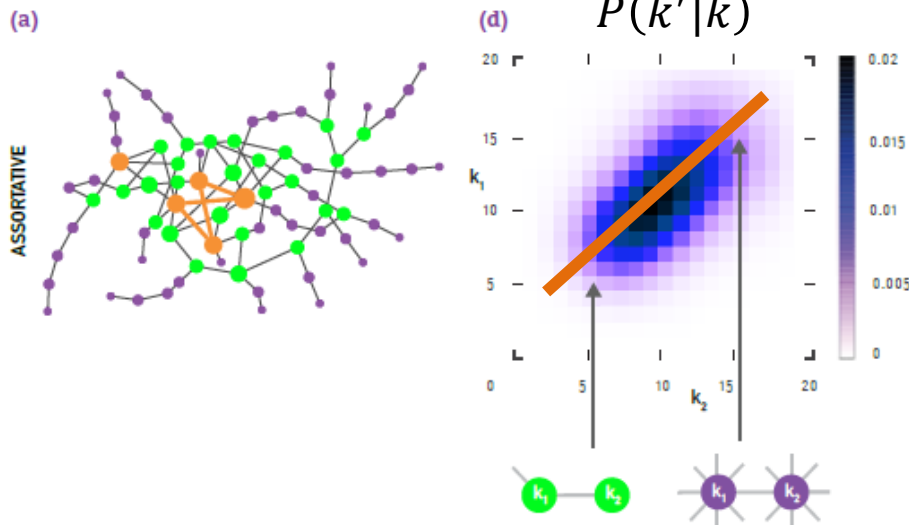
valor medio de k' dado k

$$k_{nn}(k) = \sum_{k'} k' P(k'|k)$$

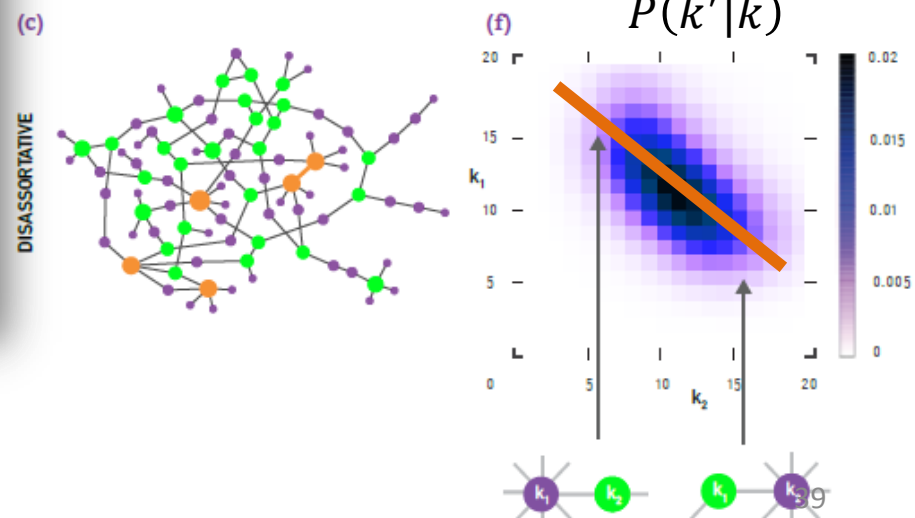
prob condicional de encontrar un nodo de grado k'
en un enlace que tiene un extremo de grado k

Asortatividad-Correlación de grado

$$k_{nn}(k) = \sum_{k'} k' P(k'|k)$$



Redes con misma distribución de grado (Poisson).
En **naranja** los 5 nodos de mayor grado.

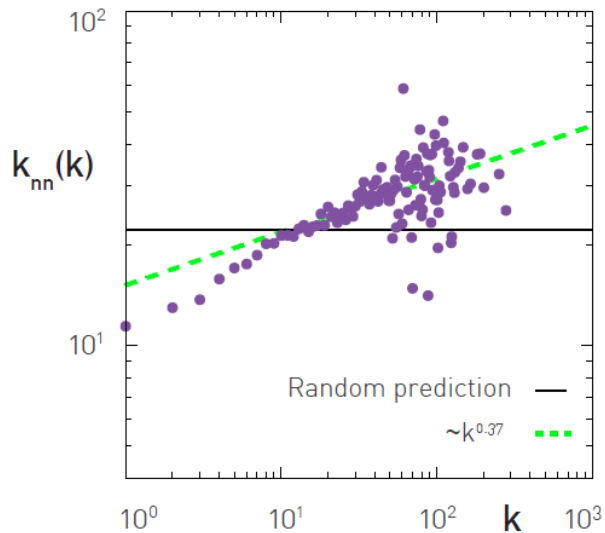


Las rectas representan fiteos a $k_{nn}(k)$ como función de k y hablan de redes de distinto caracter asortativo

Exponente de correlación

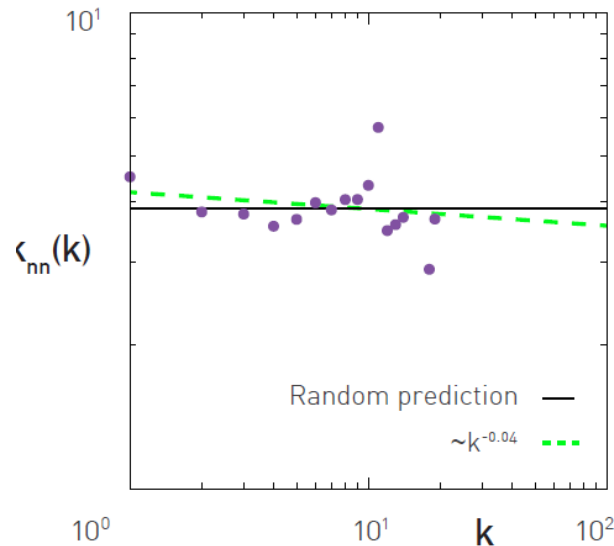
$$k_{nn}(k) = \sum_{k'} k' P(k'|k)$$

SCIENTIFIC COLLABORATION



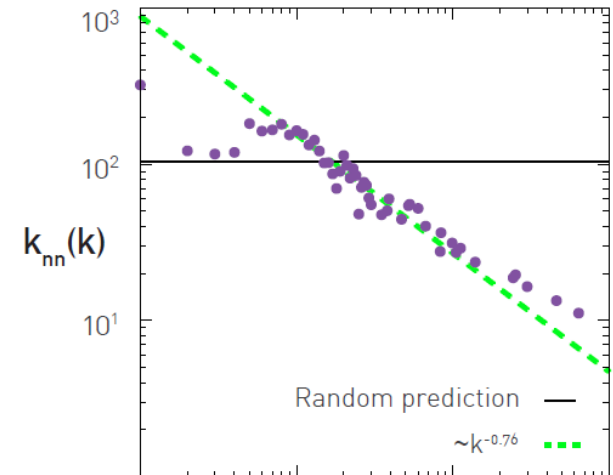
$$\mu = 0.37 \pm 0.11$$

POWER GRID



$$\mu = 0.04 \pm 0.05$$

METABOLIC NETWORK



$$\mu = -0.76 \pm 0.04$$

A partir de fiteos a redes reales
Barabasi introduce la relación
(notar **escala log** en las figs)

$$k_{nn}(k) = ak^\mu$$

Dos medidas de asortatividad

Coeficiente de correlación entre
grados de vertices de un enlace

$$r = \frac{\sum_{ij}(A_{ij} - k_i k_j / 2m) k_i k_j}{\sum_{ij}(k_i \delta_{ij} - k_i k_j / 2m) k_i k_j}$$

$$k_{nn}(k) \sim r k$$

$$-1 \leq r \leq 1$$



Fiteo de relación power-law
del Grado medio de vecinos
de nodos de grado k

$$k_{nn}(k) = \sum_{k'} k' P(k'|k)$$

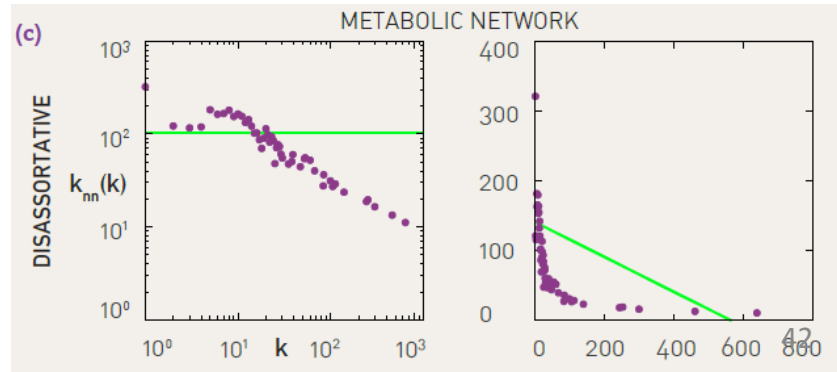
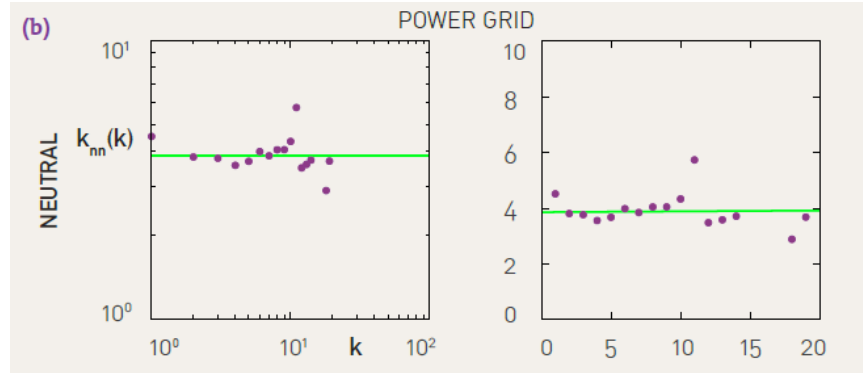
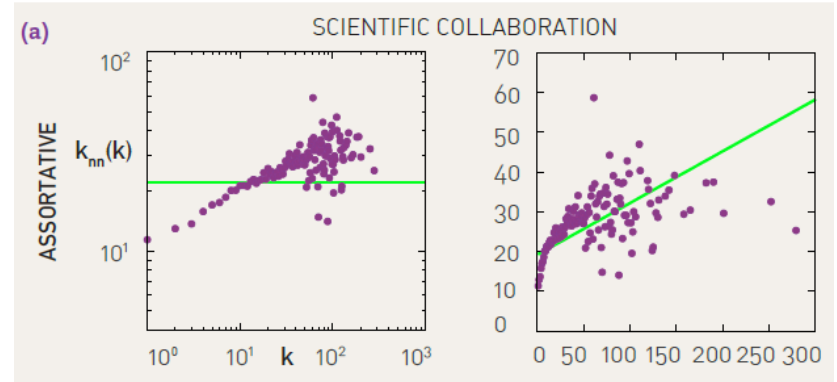
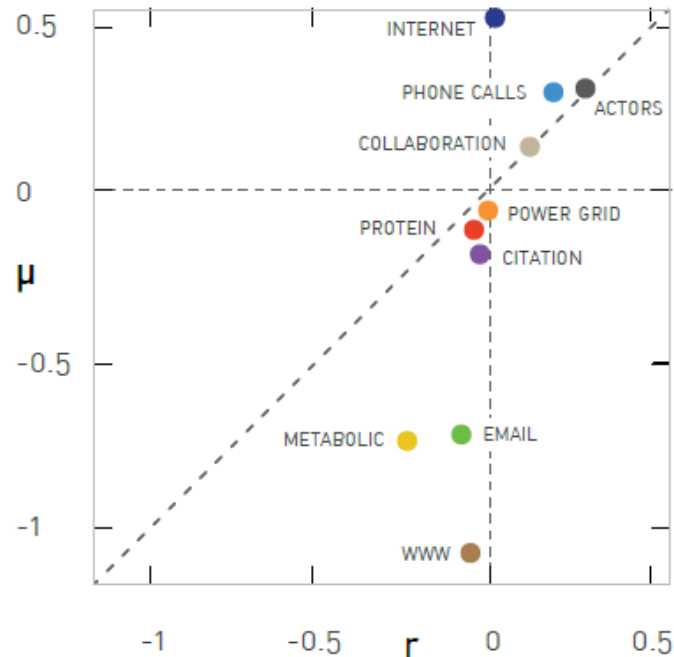
$$k_{nn}(k) = a k^\mu$$



Dos medidas (modelos) de asortatividad

$$r = \frac{\sum_{ij}(A_{ij} - k_i k_j / 2m) k_i k_j}{\sum_{ij}(k_i \delta_{ij} - k_i k_j / 2m) k_i k_j} \quad k_{nn}(k) \sim r k$$

$$k_{nn}(k) = \sum_{k'} k' P(k'|k) \quad k_{nn}(k) = a k^\mu$$



La clase pasada...

- Estuvimos hablando de correlaciones en la red: cableado vs campos definidos en nodos

$$G = G(V, E, f: V \rightarrow \{c_i\})$$

$$Q = \frac{1}{2m} \sum_{ij} \left(A_{ij} - \frac{k_i k_j}{2m} \right) \delta(c_i, c_j).$$

$$Q = \sum_r (e_{rr} - a_r^2)$$

$$G = G(V, E, x: V \rightarrow \mathbb{R})$$

$$Q = \frac{1}{2m} \sum_{ij} \left(A_{ij} - \frac{k_i k_j}{2m} \right) x_i x_j,$$

$$G = G(V, E, x: V \rightarrow k(v))$$

$$\mathbf{r} = \frac{\sum_{ij} (A_{ij} - k_i k_j / 2m) k_i k_j}{\sum_{ij} (k_i \delta_{ij} - k_i k_j / 2m) k_i k_j}$$

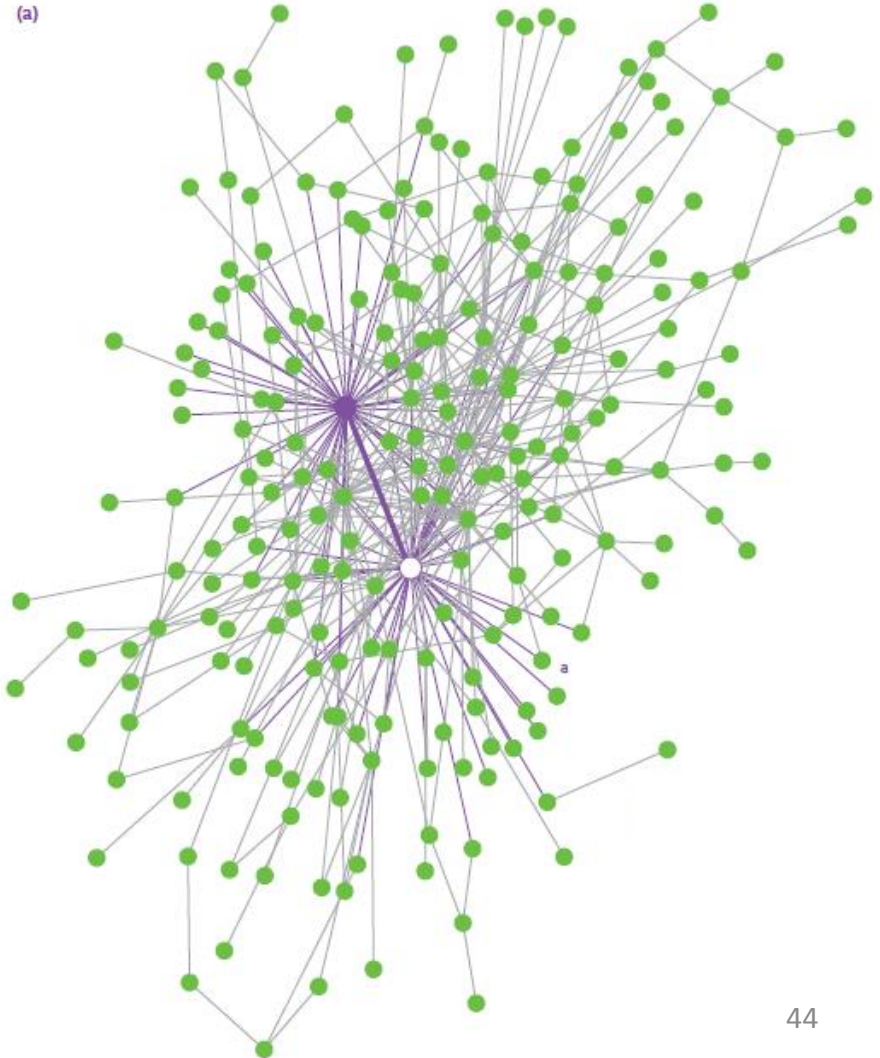
$$k_{nn}(k) = \sum_{k'} k' P(k'|k)$$

Corte estructural

En redes **simples con distribuciones de grado de cola pesada** la presencia de hubs puede introducir un sesgo hacia la disortatividad...

Cuántos enlaces cabría esperar en una **red neutral** entre dos *hubs* de la red?

Red scale-free $N=300$, $m=450$, $\gamma=2.2$
Disortativa: $r=-0.19$



Corte estructural

En redes **simples con distribuciones de grado de cola pesada** la presencia de hubs puede introducir un sesgo hacia la disortatividad...

Cuántos enlaces cabría esperar en una **red neutral** entre dos *hubs* de la red?

Recordemos....

fracción de enlaces que conectan nodos de grado r con nodos de grado s

$$e_{rs} = \frac{1}{2m} \sum_{ij} A_{ij} \delta(k_i, r) \delta(k_j, s)$$

En una red neutral

$$e_{rs} = e_r e_s$$

fracción de enlaces adyacentes a un nodo de grado k

$$\begin{aligned} e_k &= \frac{1}{2m} \sum_{ij} A_{ij} \delta(k_i, k) = \frac{1}{2m} \sum_i k_i \delta(k_i, k) \\ &= \frac{k p(k) N}{2m} = \frac{k p(k)}{\langle k \rangle} \end{aligned}$$

$$e_{kk'} = \frac{k p_k k' p_{k'}}{\langle k \rangle^2}$$

Corte estructural

En redes **simples con distribuciones de grado de cola pesada** la presencia de hubs puede introducir un sesgo hacia la disortatividad...

Cuántos enlaces cabría esperar en una **red neutral** entre dos *hubs* de la red?

- Fracción de enlaces ($k=55$, $k'=46$):

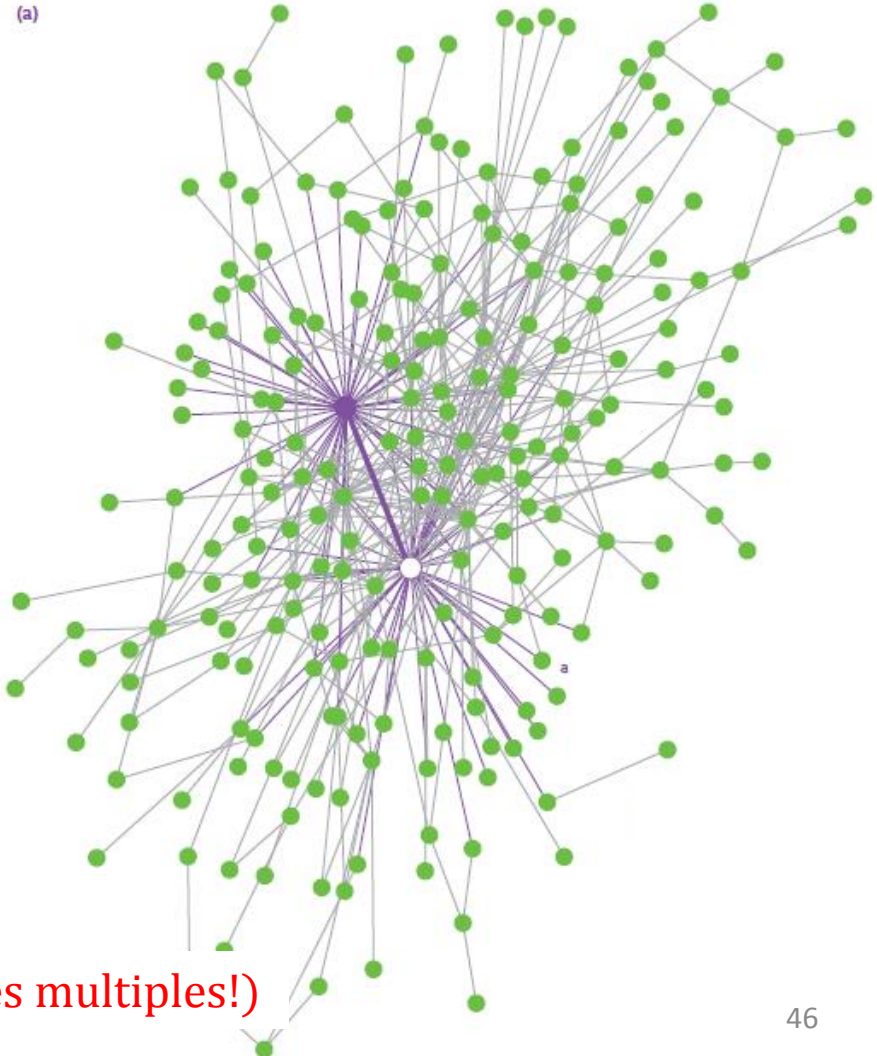
$$e_{kk'} = a_k a_{k'} = \frac{k p_k k' p_{k'}}{\langle k \rangle^2}$$

- Nro esperado de enlaces ($k=55$, $k'=46$):

$$N_{kk'} = N \langle k \rangle e_{kk'} = N \frac{k p_k k' p_{k'}}{\langle k \rangle}$$

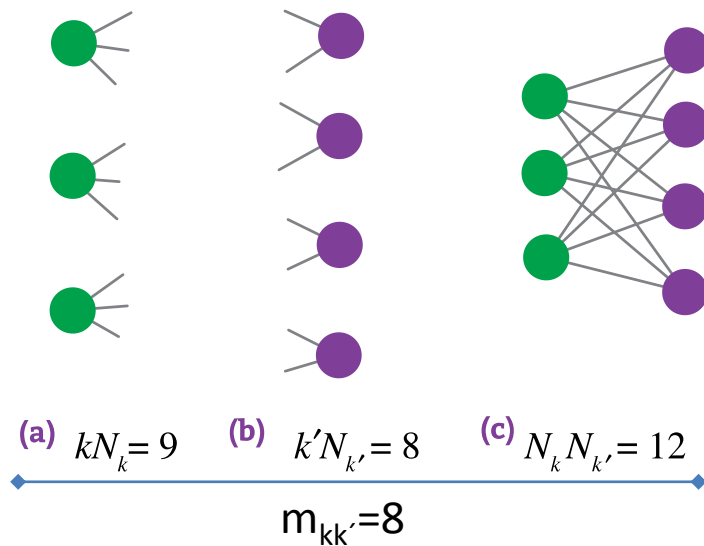
$$= 300 \frac{55}{300} \frac{46}{300} \sim 2.8 > 1 \text{ (enlaces multiples!)}$$

Red scale-free $N=300$, $m=450$, $\gamma=2.2$
Disortativa: $r=-0.19$



Corte estructural

Máximo número de enlaces entre dos grupos de nodos $m_{kk'}$:



tres numeros que limitan

$$m_{kk'} = \min(kN_k, k'N_{k'}, N_k N_{k'})$$

nro de enlaces adyacentes a grupo verde

nro de enlaces adyacentes a grupo violeta

nro max de enlaces posible entre ambos grupos

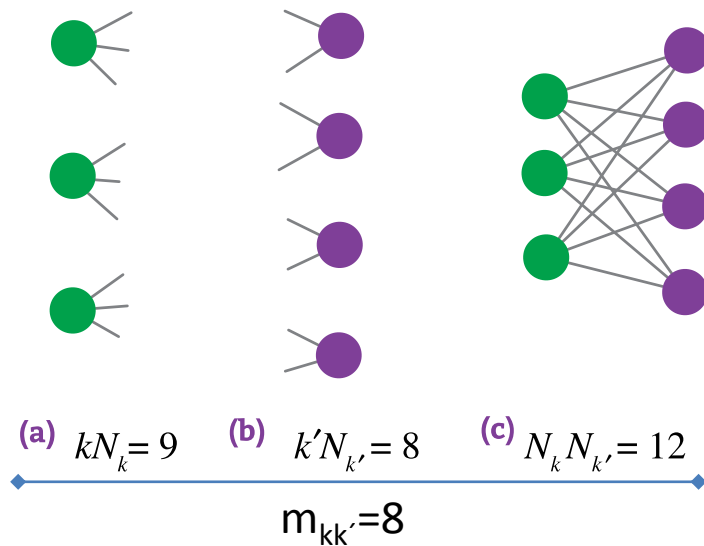
Definimos:

$$r_{kk'} = \frac{N_{kk'}}{m_{kk'}}$$

Si $r_{kk'} \leq 1$ no actua ningun corte estructural para lo que vemos en la red

Corte estructural

Máximo número de enlaces entre dos grupos de nodos $m_{kk'}$:



tres numeros que limitan

$$m_{kk'} = \min(kN_k, k'N_{k'}, N_k N_{k'})$$

nro de enlaces
adyacentes a grupo verde

nro max de enlaces
posible entre ambos
grupos

nro de enlaces adyacentes
a grupo violeta

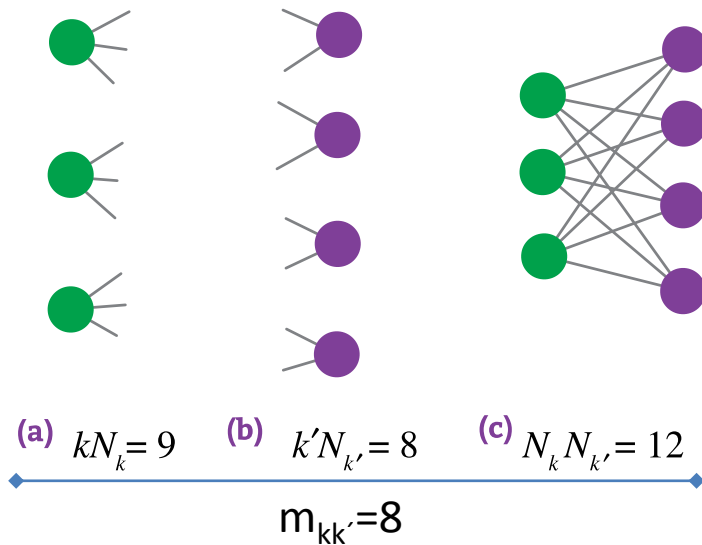
Definimos:

$$r_{kk'} = \frac{N_{kk'}}{m_{kk'}} = \frac{N\langle k \rangle e_{kk'}}{m_{kk'}} = \frac{\langle k \rangle e_{kk'}}{\min\{kp(k), k'p(k'), \underline{Np(k)p(k')}\}} \leq 1$$

Vamos a ver que para hubs (k, k' gdes) **la tercera condicion** es la limitante

Corte estructural

Máximo número de enlaces entre dos grupos de nodos $m_{kk'}$:



k, k' gdes:

si $k > Np_{k'}$

$kp(k) > Np(k')p(k)$

$k' > Np_k$

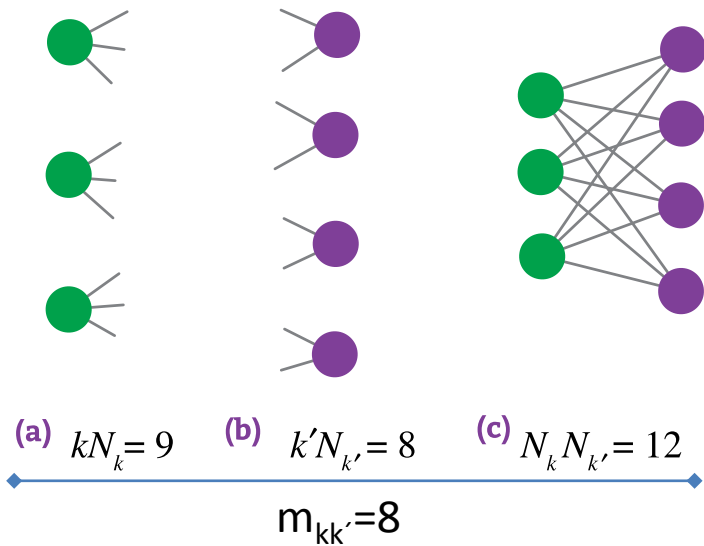
$k'p(k') > Np(k)p(k')$

Definimos:

$$r_{kk'} = \frac{N_{kk'}}{m_{kk'}} = \frac{N\langle k \rangle e_{kk'}}{m_{kk'}} = \frac{\langle k \rangle e_{kk'}}{\min\{kp(k), k'p(k'), Np(k)p(k')\}} \leq 1$$

Corte estructural

Máximo número de enlaces entre dos grupos de nodos $m_{kk'}$:



si $k > Np_{k'}$

$kp(k) > Np(k')p(k)$

$k' > Np_k$

$k'p(k') > Np(k)p(k')$

Definimos:

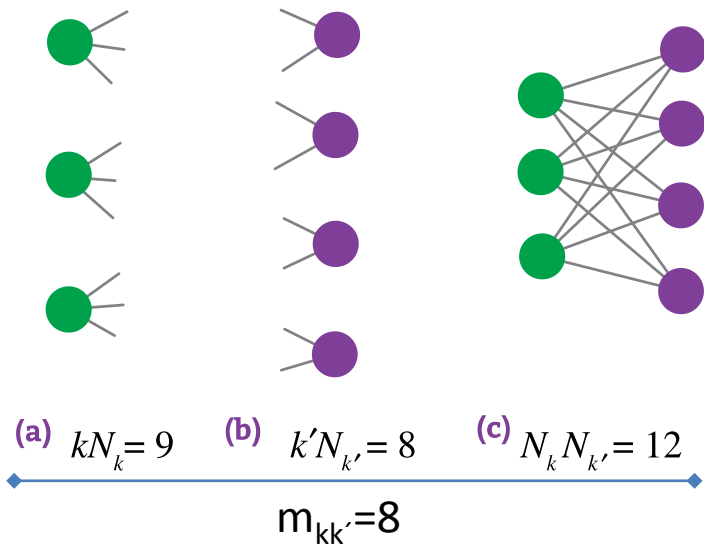
$$r_{kk'} = \frac{N_{kk'}}{m_{kk'}} = \frac{N\langle k \rangle e_{kk'}}{m_{kk'}} = \frac{\langle k \rangle e_{kk'}}{Np(k)p(k')} = \frac{\langle k \rangle \frac{kk'p(k)p(k')}{\langle k \rangle^2}}{Np(k)p(k')} = \frac{kk'}{\langle k \rangle N}$$

para una red neutral

$$e_{kk'} = a_k a_{k'} = \frac{kp_k k'p_{k'}}{\langle k \rangle^2}$$

Corte estructural

Máximo número de enlaces entre dos grupos de nodos $m_{kk'}$:



condicion límite

$$r_{kk'} = \frac{kk'}{\langle k \rangle N} = 1$$

corte estructural ($k \sim k' \sim k_s$)

$$k_s \sim \sqrt{\langle k \rangle N}$$

Definimos:

$$r_{kk'} = \frac{N_{kk'}}{m_{kk'}} = \frac{N \langle k \rangle e_{kk'}}{m_{kk'}} = \frac{\langle k \rangle e_{kk'}}{N p(k) p(k')} = \frac{\langle k \rangle \frac{kk' p(k) p(k')}{\langle k \rangle^2}}{N p(k) p(k')} = \frac{kk'}{\langle k \rangle N}$$

$$r_{kk'} = \frac{kk'}{\langle k \rangle N}$$

para una red neutral

$$e_{kk'} = a_k a_{k'} = \frac{k p_k k' p_{k'}}{\langle k \rangle^2}$$

Consecuencias del corte estructural

Supongamos una red con distribución de grado tipo ley de potencia (cola pesada)
Por efecto de tamaño finito hay dos escalas:

$$k_{max} \sim N^{\frac{1}{\gamma-1}}$$

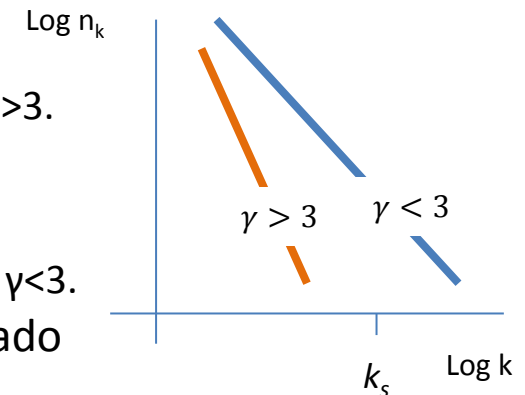
$$k_s \sim \sqrt{\langle k \rangle} N^{\frac{1}{2}}$$

↑
impone un umbral tal que nodos con $k > k_s$
presentarán $E_{kk'} > 1$ en redes neutras

Existen dos regimenes para un grafo simple

Grafo sin corte estructural: redes aleatorias y libres de escala con $\gamma > 3$.
El exponente de k_{max} es menor que $\frac{1}{2}$ y $k_s > k_{max}$

Grafo con disasortatividad estructural: redes libres de escala con $\gamma < 3$.
El exponente de k_{max} es mayor que $\frac{1}{2}$ y $k_s < k_{max}$. Nodos con grado $k \in [k_s, k_{max}]$ tendrán, si el grafo es simple, forzosamente menos enlaces que en el caso neutro.



(Dis)asortatividad estructural o inherente?

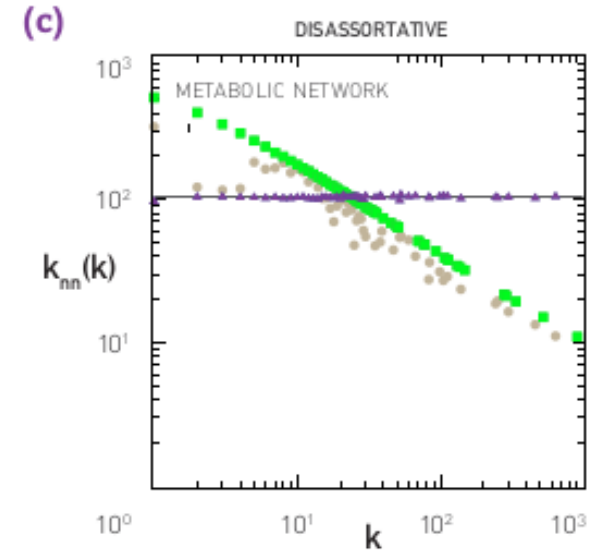
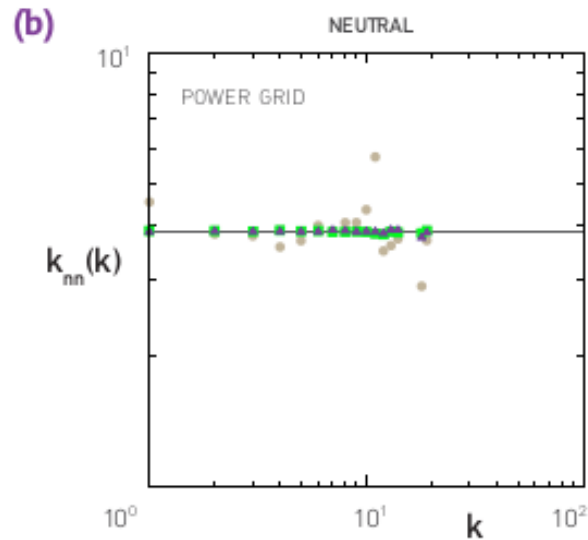
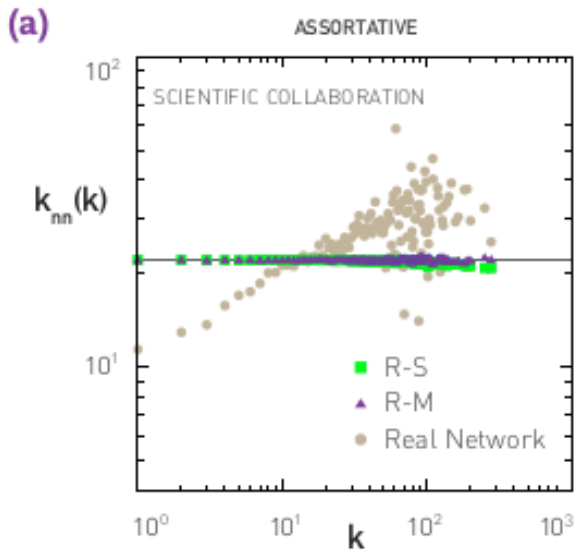
Para ver si la **asortatividad o disasortatividad** de una red real es **estructural** o se debe a un **proceso de la formación** de la red...comparación con modelo nulo

(Dis)asortatividad estructural o inherente?

Para ver si la **asortatividad o disasortatividad** de una red real es **estructural** o se debe a un **proceso de la formación** de la red...comparación con modelo nulo

R-S: modelo configuracional, restringido a grafos simples

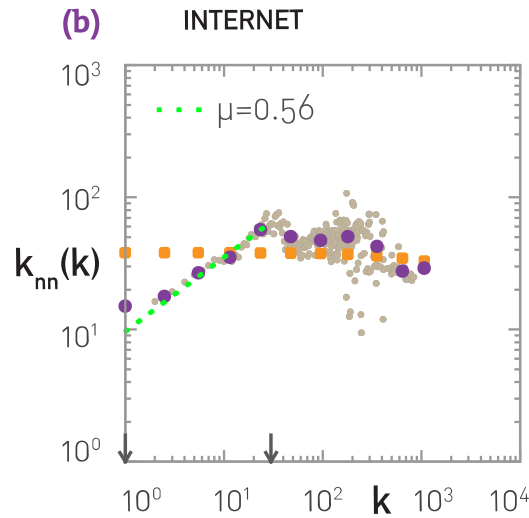
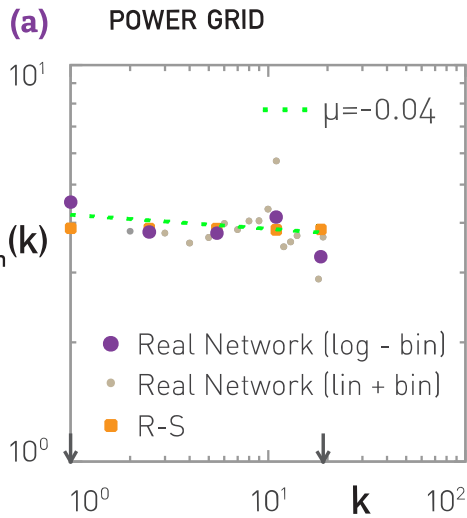
R-M: modelo configuracional que permite multi-enlaces (no es afectado por corte estructural)



Patron de correlaciones entre grados **no se explican** por propiedades de la distribución de grado...hay algo mas

Patron de correlaciones entre grados **se explican** enteramente por propiedades de la distribución de grado

Mas redes reales (tecnológicas)



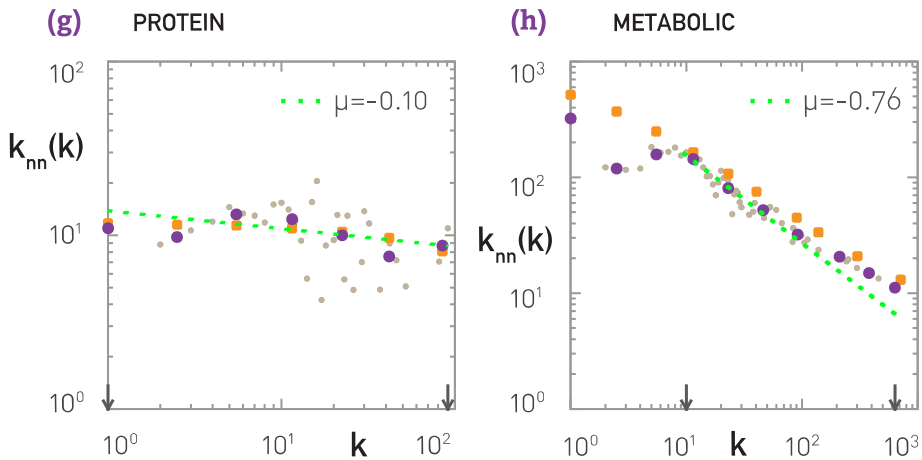
- **Power Grid**

For the power grid $k_{nn}(k)$ is flat and indistinguishable from its randomized version, indicating a lack of degree correlations (Figure 7.10a). Hence the power grid is neutral.

- **Internet**

For small degrees ($k \leq 30$) $k_{nn}(k)$ shows a clear assortative trend, an effect that levels off for high degrees (Figure 7.10b). The degree correlations vanish in the randomized version of the Internet map. Hence the Internet is assortative, but structural cutoffs eliminate the effect for high k .

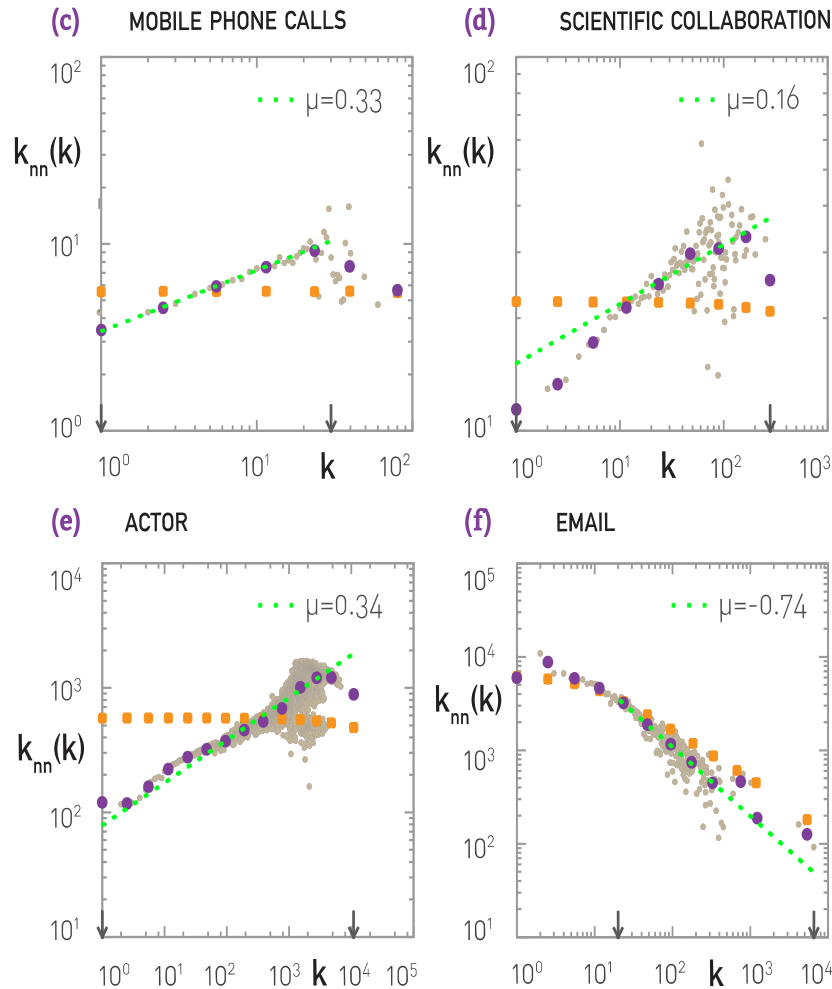
Redes reales (biologicas)



- **Biological Networks**

The protein interaction and the metabolic network both have a negative μ , suggesting that these networks are disassortative. Yet, the scaling of $k_{min}^{R-S}(k)$ is indistinguishable from $k_{nn}(k)$, indicating that we are observing structural disassortativity, rooted in the scale-free nature of these networks (Figure 7.10 g,h).

Redes reales (sociales)



- **Social Networks**

The three networks capturing social interactions, the mobile phone network, the science collaboration network and the actor network, all have an increasing $k_{nn}(k)$, indicating that they are assortative (Figures 7.10c-e). Hence in these networks hubs tend to link to other hubs and low-degree nodes tend to link to low-degree nodes. The fact that the observed $k_{nn}(k)$ differs from the $k_{nn}^{R-S}(k)$, indicates that the assortative nature of social networks is not due to their scale-free the degree distribution.

- **Email Network**

While the email network is often seen as a social network, its $k_{nn}(k)$ decreases with k , documenting a clear disassortative behavior (Figure 7.10f). The randomized $k_{nn}^{R-S}(k)$ also decays, indicating that we are observing structural disassortativity, a consequence of the network's scale-free nature.

Asortatividad en redes

	Network	Type	n	m	c	S	ℓ	α	C	C_{ws}	r	Ref(s).
Social	Film actors	Undirected	449913	25516482	113.43	0.980	3.48	2.3	0.20	0.78	0.208	16,323
	Company directors	Undirected	7673	55392	14.44	0.876	4.60	-	0.59	0.88	0.276	88,253
	Math coauthorship	Undirected	253339	496489	3.92	0.822	7.57	-	0.15	0.34	0.120	89,146
	Physics coauthorship	Undirected	52909	245300	9.27	0.838	6.19	-	0.45	0.56	0.363	234,236
	Biology coauthorship	Undirected	1520251	11803064	15.53	0.918	4.92	-	0.088	0.60	0.127	234,236
	Telephone call graph	Undirected	47000000	80000000	3.16				2.1			9,10
	Email messages	Directed	59812	86300	1.44	0.952	4.95	1.5/2.0		0.16		103
	Email address books	Directed	16881	57029	3.38	0.590	5.22	-	0.17	0.13	0.092	248
	Student dating	Undirected	573	477	1.66	0.503	16.01	-	0.005	0.001	-0.029	34
	Sexual contacts	Undirected	2810						3.2			197,198
Information	WWW nd. edu	Directed	269504	1497135	5.55	1.000	11.27	2.1/2.4	0.11	0.29	-0.067	13,28
	WWW AltaVista	Directed	203549046	1466000000	7.20	0.914	16.18	2.1/2.7				56
	Citation network	Directed	783339	6716198	8.57			3.0/-				280
	Roget's Thesaurus	Directed	1022	5103	4.99	0.977	4.87	-	0.13	0.15	0.157	184
	Word co-occurrence	Undirected	460902	16100000	66.96	1.000			2.7		0.44	97,116
Technological	Internet	Undirected	10697	31992	5.98	1.000	3.31	2.5	0.035	0.39	-0.189	66,111
	Power grid	Undirected	4941	6594	2.67	1.000	18.99	-	0.10	0.080	-0.003	323
	Train routes	Undirected	587	19603	66.79	1.000	2.16	-		0.69	-0.033	294
	Software packages	Directed	1439	1723	1.20	0.998	2.42	1.6/1.4	0.070	0.082	-0.016	239
	Software classes	Directed	1376	2213	1.61	1.000	5.40	-	0.033	0.012	-0.119	315
	Electronic circuits	Undirected	24097	53248	4.34	1.000	11.05	3.0	0.010	0.030	-0.154	115
	Peer-to-peer network	Undirected	880	1296	1.47	0.805	4.28	2.1	0.012	0.011	-0.366	6,282
Biological	Metabolic network	Undirected	765	3686	9.64	0.996	2.56	2.2	0.090	0.67	-0.240	166
	Protein interactions	Undirected	2115	2240	2.12	0.689	6.80	2.4	0.072	0.071	-0.156	164
	Marine food web	Directed	134	598	4.46	1.000	2.05	-	0.16	0.23	-0.263	160
	Freshwater food web	Directed	92	997	10.84	1.000	1.90	-	0.20	0.087	-0.326	209
	Neural network	Directed	307	2359	7.68	0.967	3.97	-	0.18	0.28	-0.226	323,328

Observaciones

- en general las redes resultan disortativas
- salvo las de tipo social, que suelen resultar asortativas.

Causas :

- Efectos de tener hubs en grafos simples (disasortatividad estructural)
- predominio de grupos pequeños con nodos de bajo grado conectados entre sí dentro del grupo

Estructura a gran escala I

De acuerdo a la distribución de grado las redes pueden clasificarse en

Redes acotadas exponencialmente:

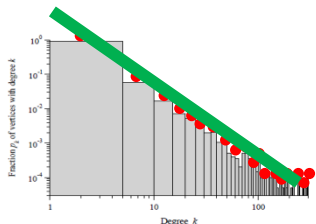
- distribución decae para altos valores de k exponencialmente o más rápido
- Ausencia de grandes fluctuaciones en el grado [$\langle k^2 \rangle < \langle k \rangle$]

Redes de cola pesada:

- redes cuya distribución decae como ley de potencia para altos valores de k
- Pueden presentarse grandes fluctuaciones en el grado [$\langle k^2 \rangle \gg \langle k \rangle$]
- Típicamente presentan outliers (hubs)

$$k_{max} = k_{min} N^{\frac{1}{\gamma-1}}$$

$$\log p_k = -\gamma \log k + c$$



$$\langle d \rangle \sim \begin{cases} \text{const.} & \gamma=2 \\ \ln \ln N & 2 < \gamma < 3 \\ \frac{\ln N}{\ln \ln N} & \gamma=3 \\ \ln N & \gamma > 3 \end{cases}$$

Estructura a gran escala II

- Asortatividad / disortatividad

variable categorica $Q = \frac{1}{2m} \sum_{ij} \left(A_{ij} - \frac{k_i k_j}{2m} \right) \delta(c_i, c_j).$

campo escalar $\text{cov}(x_i, x_j) = \frac{1}{2m} \sum_{ij} \left(A_{ij} - \frac{k_i k_j}{2m} \right) x_i x_j,$

grado $r = \frac{\sum_{ij} (A_{ij} - k_i k_j / 2m) k_i k_j}{\sum_{ij} (k_i \delta_{ij} - k_i k_j / 2m) k_i k_j}$

$$k_{\text{nn}}(k) = ak^\mu$$

corte estructural

$$k_s \sim \sqrt[2]{\langle k \rangle N}$$